

A liquid-gas transition for bosons with attractive interaction in one dimension

Christopher Herzog^a, Maxim Olshanii^b, Yvan Castin^c

^a*YITP, Department of Physics and Astronomy, Stony Brook University, Stony Brook, NY 11784, USA*

^b*Department of Physics, University of Massachusetts at Boston, Boston, MA 02125, USA*

^c*Laboratoire Kastler Brossel, École normale supérieure, CNRS et UPMC, Paris, France*

Abstract

We consider a one dimensional system of N bosons interacting via an attractive Dirac delta function potential. We place the bosonic quantum particles at thermal equilibrium in a box of length L with periodic boundary conditions. At large N and for L much larger than the diameter of a two particle bound state, we predict by numerical and analytical studies of a simple model derived from first principles that the system exhibits a first order phase transition in a high temperature, non-degenerate regime. The higher temperature phase is an almost pure atomic gas, with a small fraction of dimers, a smaller fraction of trimers, etc. The lower temperature phase is a mesoscopic or macroscopic bound state that collects all the particles of the system with the exception of a small gaseous fraction composed mainly of atoms. We term this phase, which is the quantum equivalent of the classical bright soliton, a liquid.

Keywords : unidimensional Bose gas ; bright soliton ; quantum liquid ; ultracold atoms

1. Introduction and motivations

In the last twenty years, ultracold atom experiments have been revealing their extreme flexibility in controlling the parameters and the geometry. By freezing with a laser trap the atomic motion in its vibrational ground state along one or two spatial dimensions, one can prepare systems of effective reduced dimensionality, which has led for example to the observation of the Berezinskii-Kosterlitz-Thouless transition [1] in a two-dimensional Bose gas. Furthermore, simply by applying a magnetic field close to a Feshbach resonance, one can adjust at will the s -wave scattering length, that is the amplitude of the atomic interactions [2]. The adiabatic use of both tools (transverse confinement followed by a switch of the scattering length from positive to negative values) to an almost pure three-dimensional Bose-Einstein condensate has allowed the experimentalists to observe the first N -mers in a one-dimensional atomic gas with attractive interactions [3, 4], that is of N -body bound states whose existence was predicted by the purely quantum theory for all $N > 1$ [5], and that correspond for large N to the bright solitons of the classical field (Gross-Pitaevskii or non-linear Schrödinger) equation.

In the present work, we identify another mechanism of formation of those N -mers, which is purely at thermal equilibrium¹ and in a totally different physical regime. We indeed show that a one-dimensional spatially homogeneous attractive Bose gas in a non-degenerate regime can be thermodynamically less favoured (that is of a higher free energy) than an almost pure N -meric phase. In other words, the non-degenerate gaseous phase may exhibit a first-order phase transition to an almost fully bound phase, that we shall term a “liquid” in a thermodynamic limit that we shall specify.

It turns out that the concept of a liquid-gas transition in a system of ultracold bosonic atoms is quite timely in three dimensions, in the so-called unitary limit of an interaction with negligible range and infinite scattering length. After the numerical discovery of bound states that are probably of a liquid nature [6], from $N = 3$ (the Efimov trimers[7]) up to the largest accessible values of N (a few tens), such a transition was very recently observed in quantum Monte Carlo simulations with about one hundred particles [8]. The experimental realisation, however, is hampered by strong three-body losses induced by the Efimov effect [9, 10], and may require a dedicated experiment.

1. The system is integrable, but it can be thermalized by contact with a buffer gas of a different atomic species.

In this context, our study of the one-dimensional case has both a theoretical and a practical interest. On one hand, the integrability of the theory allows one, under conditions to be specified in section 2, to construct in a controlled way a model that is simple to study numerically and to interpret analytically, as done in section 3, even in appropriate thermodynamic limits, see section 4. On the other hand, the smallness of the three-body losses, here away from the unitary limit, opens the way to a short term experimental realisation with ultracold atoms; we shall come back to this point in the conclusion.

2. Construction of the model

We consider N bosonic spinless quantum particles of mass m , living in one dimension on the x axis in the absence of an external potential, and with binary interactions via the attractive Dirac delta function potential $V(x_i - x_j) = g\delta(x_i - x_j)$, that is $g < 0$. A fundamental property of this hamiltonian model is its integrability, since one can determine the eigenstate wavefunctions with the Bethe ansatz [11], the price to pay with respect to the usual repulsive case [12] being that one must obviously include complex quasi-wavevectors [13, 14] due to the existence of negative energy eigenstates, as it was already pointed out in [12] and explicitly done for $N = 2$ in an appendix of that reference. **In free space**– The Bethe ansatz solution is simple on the open line, that is in a pure scattering problem of the N bosons; in this case, the values of the quasi-wavevectors are known explicitly [13]. Under the condition that the N -body wavefunction does not diverge at infinity, one finds that each eigenstate is composed of an arbitrary collection of indistinguishable n -mers, the special case $n = 1$ corresponding to an unbound bosonic particle, that is an atom. Each n -mer is characterized by a well-defined total momentum $\hbar K$, and elastically scatters off the other n -mers, since any chemical reaction (association or dissociation), or even any simple backscattering of two n -mers of different sizes, is forbidden by integrability. For all $n \geq 2$, there exists one and only one possible bound state, of internal energy [5, 13]

$$E_0(n) = -\frac{mg^2}{24\hbar^2}n(n^2 - 1) \quad (1)$$

In a given scattering state, there can be of course several n -mers with the same size, so that the total number of fragments may vary from one (all the particles are bound in the ground N -mer, as in a liquid) up to N (all the particles exist under an atomic, gaseous form). In terms of the size n_i of the i th fragment and of its center of mass wave vector K_i , the scattering state energy may be simply written as the following sum of internal and kinetic energies:

$$E = \sum_i \left[E_0(n_i) + \frac{\hbar^2 K_i^2}{2n_i m} \right] \quad (2)$$

In the box – We shall here study the system at thermal equilibrium at temperature T , so we have to enclose it in a quantisation box of length L , with the usual periodic boundary conditions². The quasi-wavevectors of the Bethe ansatz then solve a non-linear system of coupled equations [14] with no analytical solution, which makes it difficult to determine the discrete energy spectrum in the box, even numerically, at large N . The central idea of the present work is thus to restrict to a limiting case that may be handled in a simple way, such that the free space expression (2) remains approximately true in the box, with (as the only twist) the natural quantisation prescription:

$$K_i \in \frac{2\pi}{L}\mathbb{Z} \quad (3)$$

A box that is larger than the n -mers – A first condition to get the expression (2) for the spectrum is that the structure and the internal energy of the bound state are weakly affected by the presence of the box. As the dimer state is the less strongly bound state, with the largest spatial diameter, this requires:

$$\frac{L}{\ell} = \pi \left(\frac{|\mu_0|}{E_F} \right)^{1/2} \gg 1 \quad (4)$$

2. Even if it is possible to produce box potentials [15] it is useful to transpose our work to the harmonically trapped case, as was done in the pioneering reference [16].

where $\ell \equiv 2\hbar^2/(m|g|)$ is the diameter of the dimer, $\mu_0 \equiv -mg^2N^2/(8\hbar^2)$ is the chemical potential of the N -mer, and $E_F = \hbar^2(\pi\rho)^2/(2m)$ is the Fermi energy of the fictitious one-dimensional gas of fermions with the same density $\rho = N/L$ as the bosonic particles. As the n -mer wavefunction is an exponentially decreasing function of the sum of the distances between the particles [5, 13], we expect that neglecting the effect of the box on the internal energy $E_0(n)$ introduces an exponentially small error in L . For $N = 2$, this expectation is confirmed by the appendix A of [12]: Two “bound states” are found, corresponding to our dimer state with total momenta $\hbar K = 0$ and $\hbar K = 2\pi\hbar/L$, and their energies deviate from (2) by $\simeq \pm 4 \exp(-L/\ell)$ in relative value.

In the non-degenerate regime – The condition (4) guides all the present work. Since $|\mu_0|$ is the binding energy of a particle in the N -mer, one can reasonably expect that a liquid-gas transition (if there is any) takes place at a temperature of the order of a fraction of $|\mu_0|/k_B \gg E_F/k_B$, that is in a regime where the atomic gaseous phase is highly non degenerate:

$$\rho\lambda = \left(\frac{4E_F}{\pi k_B T} \right)^{1/2} \ll 1 \quad (5)$$

where $\lambda = [2\pi\hbar^2/(mk_B T)]^{1/2}$ is the usual thermal de Broglie wavelength. This atomic phase is then also close to the continuous spectrum limit, meaning that any discrete sum over the K_i in equation (3) can be replaced by an integral, since $L \gg N\lambda$ implies $L \gg \lambda$. In short, this phase can be considered as a classical gas. In what follows we consider this high temperature limit, where the calculation of the external partition function $Z_{n\text{-mers}}^{\text{ext}}$ (that is of kinetic origin) of the n -mers associated to the spectrum (2) is greatly simplified. For a given internal configuration of the N particles, the subset of the n -mers forms a gas (supposed to be ideal for the moment) with N_n indistinguishable (bosonic) elements of mass $nm \geq m$, de Broglie wavelength $\lambda/n^{1/2} \leq \lambda$ and density $\leq \rho$, so that this gas is as close to the classical limit as the ($n = 1$) atomic gas, which leads to [17]

$$Z_{n\text{-mers}}^{\text{ext}} \simeq \left(\frac{Ln^{1/2}}{\lambda} \right)^{N_n} \frac{1}{N_n!} \quad (6)$$

Negligible interactions among the n -mers – A second validity condition for the use of the energy spectrum defined by Eqs. (2,3) is that the energy shifts in the box due to the *elastic scattering*, i.e. interaction among n -mers, are negligible as compared to the mean kinetic energy of each internal configuration³. In the purely atomic phase, the estimation of the interaction energy is made simpler by the following remark: at the considered temperatures of order $|\mu_0|/k_B$, the kinetic energy per atom $\approx k_B T/2$ is much larger than the dimer binding energy $|E_0(2)|$ as soon as $N \gg 1$, which leads to

$$\frac{\lambda}{\ell} = \frac{1}{N} \left(\frac{4\pi|\mu_0|}{k_B T} \right)^{1/2} \ll 1 \quad (7)$$

so that the typical relative wavevector of two atoms $\approx 1/\lambda$ is much *larger* than $m|g|/\hbar^2$, and two-body scattering takes place in the Born regime, see equation (99) in the reference [13]⁴. The interaction energy per atom is then simply the one ρg of the mean field theory, including the factor two due to the bosonic bunching effect, and it can be neglected if

$$\frac{\rho|g|}{k_B T} = \frac{4}{\pi} \frac{(E_F|\mu_0|)^{1/2}}{Nk_B T} = \frac{1}{\pi} (\rho\lambda) \left(\frac{\lambda}{\ell} \right) \ll 1 \quad (8)$$

This conditions seems to be generically satisfied, similarly to (7), in some sort of thermodynamic limit, since N appears in the denominator; this will be confirmed by section 4. Furthermore, this condition is implied by the product of conditions (5,7), so that it can be omitted in what follows.

To get an estimate of the interaction energy of an atom with a quasi-classical n -mer ($n \gg 1$), let us treat the corresponding bright soliton with Bogoliubov theory, where the atom- n -mer scattering process at relative wave vector k is described by the quasi-particle mode functions $u_k(x)$ and $v_k(x)$. If $u_k(x) \sim e^{ikx}$ for $k > 0$ and $x \rightarrow -\infty$, the

3. Those elastic scattering events are for sure taken into account in the reference [13] in free space, but they do not impact the spectrum (2) since the various n -mers are then asymptotically free.

4. Contrarily to the three-dimensional case, the scattering of an incoming plane wave on a short range attractive potential in one dimension always tends to its total reflection at low energy, which is beyond the Born regime.

exact expression of the modal functions [18, 19, 20] leads to $u_k(x) \sim e^{i\theta(k)}e^{ikx}$ for $x \rightarrow +\infty$, with a phase shift $\theta(k) = -4 \arctan(k\ell/n)$. The periodic boundary conditions then impose the quantization condition $\exp(ikL) \exp[i\theta(k)] = 1$. Hence in our big box $L \gg \ell/n$, a spacing between successive wave numbers equals $\delta k \simeq 2\pi/[L + \theta'(k)]$ where $\theta'(k)$ is the derivative of $\theta(k)$. The effective quantization length at a given thermal kinetic energy becomes

$$L_{\text{eff}} \approx L + \theta'(k = \sqrt{2\pi}/\lambda) \quad (9)$$

We insert this effective length in the partition function (6) written for a single atom, and we approximate $\theta'(k)$ by its asymptotic expression $\sim -4n/(k^2\ell)$ at large k , which is justified by the fact that $k_B T \approx |\mu_0|$. We then find a length change that is very small in relative value, and that corresponds, for an atom- n -mer pair, to an interaction energy of order $2n|g|/L$, that is of order n times the interaction energy of a pair of atoms⁵. Thus the same condition (8) obtained for interactions among atoms allows us to neglect interactions between atoms and n -mers.

The model – To conclude, for the validity conditions (4,5,7) given above, our high-temperature system of N bosonic particles with attractive interaction in a quantization box, may be assumed to exhibit, as internal configurations, all the possible partitions of the N particles into atoms and into two-body, ..., N -body bound states, each subset of atoms or bound-states of a common size n forming an ideal classical gas of \mathcal{N}_n indistinguishable particles of mass nm , which corresponds to the partition function (6). In mathematical terms, the full partition function Z of our model is the sum over all internal configurations with a fixed total number N of particles, of configurational partition functions:

$$Z = \sum_{\text{conf}} Z_{\text{conf}}, \text{ where } \text{conf} \in \{(\mathcal{N}_n)_{1 \leq n \leq N} \in \mathbb{N}^N \text{ such that } \sum_{n=1}^N n\mathcal{N}_n = N\}, \quad (10)$$

that can be written, with $\beta = 1/(k_B T)$, as products of internal and external partition functions,

$$Z_{\text{conf}} = \exp \left[-\beta \sum_{n=1}^N \mathcal{N}_n E_0(n) \right] \prod_{n=1}^N \left[\left(\frac{Ln^{1/2}}{\lambda} \right)^{\mathcal{N}_n} \frac{1}{\mathcal{N}_n!} \right] \quad (11)$$

3. Mesoscopic numerical investigations and interpretation in terms of a liquid-gas transition

We have performed a direct numerical study of the model (10,11) simply by generating all possible internal configurations $(\mathcal{N}_n)_{1 \leq n \leq N}$. The numerical results are thus as exact as the model is. The number of configurations to explore is, however, equal to the partition number $p(N)$ of the integer N , which increases exponentially with N [21]. This limits the simulations on a desktop computer to $N \lesssim 150$. For a total number of $N = 100$ particles and a fixed geometry $L/\ell = 100$, which lies well within the large box limit (4), we show in figure 1a and 1b the dependence on temperature of two observables, the total free energy $F = -k_B T \ln Z$ and the mean fragmentation rate $\langle v \rangle$, given by a thermal average of the relative number of fragments in each configuration with weights Z_{conf} ,

$$\langle v \rangle = \frac{1}{N} \sum_{n=1}^N \mathcal{N}_n \in \left[\frac{1}{N}, 1 \right] \quad (12)$$

One observes in figure 1a a rather abrupt change of slope of the free energy, around $T \simeq 105T_F \simeq 0.1|\mu_0|/k_B$, which is well within the non-degenerate regime (5). Since the derivative $-\partial_T F$ gives the entropy of the system, this change of slope may be the precursor for our mesoscopic system of a first order phase transition with a non-zero latent heat. Around the same temperature, there is a rather abrupt change of the mean fragmentation rate, from a value close to unity at high temperature, to a value close to $1/N$, see figure 1b: This change suggests the transition from a mainly atomic gaseous phase (i.e. an almost fully dissociated phase) to a liquid phase mainly formed of the ground N -mer. This expectation is confirmed by the shape of the distribution $(n\langle \mathcal{N}_n \rangle / N)_{1 \leq n \leq N}$ of the number of particles per size of the n -mers, which exhibits at the transition two maxima, one at $n = 1$ and the other at $n = N$, at the top of narrow peaks, separated by infinitesimal occupation numbers for intermediate sizes, see figure 1c. If one increases (or reduces) the temperature, one observes that the $n = N$ peak (the $n = 1$ peak respectively) rapidly collapses (not shown here).

5. It may be useful to refer to footnote 14.

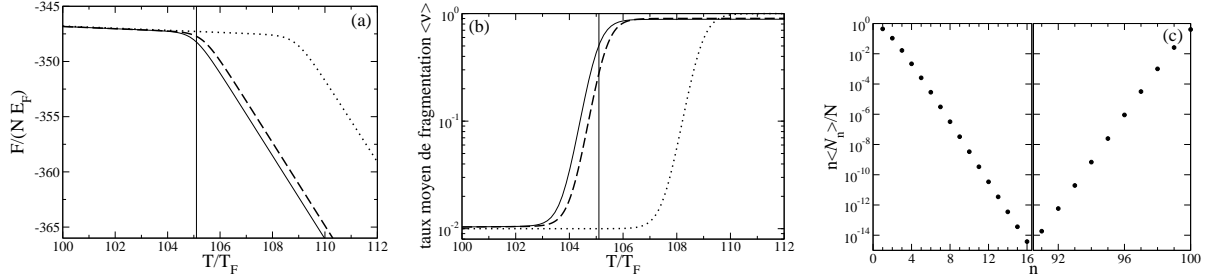


Figure 1: For $N = 100$ bosonic particles of mass m in one dimension, with an attractive interaction potential $-|g|\delta(x_i - x_j)$ in a box of length $L = 100\ell$, where $\ell \equiv 2\hbar^2/(m|g|)$ is the diameter of the two-body bound state: (a) free energy per particle F/N , in units of the Fermi energy $E_F = k_B T_F = \hbar^2(\pi\rho)^2/(2m)$, and (b) mean fragmentation rate $\langle v \rangle$, as functions of the temperature in units of the Fermi temperature. Solid line: the numerical result obtained by generation of all possible configurations. Dotted line: when restricted to the two extreme configurations, the purely atomic one and the N -mer one. Dashed line: further including the gaseous mixtures (in arbitrary proportions) of atoms and dimers, as well as the minimally dissociated liquid phase of an atom plus a $(N-1)$ -mer. In (c), the mean fraction of bosonic particles as a function of the size of the n -mers, $n \mapsto n\langle N_n \rangle/N$ (for all n where it is $> 10^{-15}$), numerically obtained at the temperature $\approx 105.1T_F$ where $\langle v \rangle$ crosses $(1 + 1/N)/2$ [vertical line in (a) and (b)]. Note the logarithmic scale on the vertical axis in (b) and (c).

Let us try to provide a more quantitative support to our liquid-gas transition scenario. At a first approximation, let us keep in the partition function Z only two internal configurations, the one with N atoms, contributing as Z_{at} , and the one of the pure N -mer, contributing as $Z_{N\text{-mère}}$. The corresponding estimates for the free energy and the fragmentation rate, $F^{(0)} = -k_B T \ln(Z_{\text{at}} + Z_{N\text{-mère}})$ and $\langle v \rangle^{(0)} = (N^{-1}Z_{N\text{-mère}} + Z_{\text{at}})/(Z_{\text{at}} + Z_{N\text{-mère}})$, are plotted as dotted lines in figure 1a and 1b. This reproduces well the general behavior of the numerical results, up to about a 3.5% shift towards higher temperatures, as we have checked explicitly. The corresponding transition temperature $T_c^{(0)}$, obtained by equating the partition functions Z_{at} and $Z_{N\text{-mère}}$, which amounts here to taking a mean fragmentation rate equal to $(1 + 1/N)/2$, solves

$$e^{-\beta_c^{(0)} E_0(N)} \frac{L \sqrt{N}}{\lambda_c^{(0)}} = \frac{1}{N!} \left(\frac{L}{\lambda_c^{(0)}} \right)^N \quad (13)$$

For the parameters of figure 1, this leads to $T_c^{(0)} \simeq 108.90T_F$, whereas the mean fragmentation rate in the numerical simulation reaches the same value $(1 + 1/N)/2$ at $T \simeq 105.1T_F$.

Note that a convenient approximate form of equation (13) is obtained by taking the logarithm and then dividing by N . One thus takes the large N limit, without precisely specifying yet how the thermodynamic limit must be taken for L (this will be specified in section 4). One only makes the weakly restrictive hypothesis that $L/\lambda_c^{(0)}$ increases less rapidly than some power of N , so that $\ln(L/\lambda_c^{(0)}) = O(\ln N)$. Using Stirling asymptotic formula for $N!$, one gets

$$\frac{1}{3}\beta_c^{(0)}|\mu_0| - \ln\left(\frac{e}{\rho\lambda_c^{(0)}}\right) = O\left(\frac{\ln N}{N}\right) \quad (14)$$

Neglecting the terms that vanish at large N , and taking as unknown the dimensionless quantity $\beta_c^{(0)}|\mu_0|$, one reaches the implicit equation

$$\frac{2}{3}\beta_c^{(0)}|\mu_0| + \ln\left(\frac{2}{3}\beta_c^{(0)}|\mu_0|\right) = \ln\left(\frac{\pi e^2 |\mu_0|}{6E_F}\right) \quad (15)$$

that can be solved in terms of the Lambert W function (inverse function of $x \mapsto xe^x$ for $x \geq -1$) as⁶

$$\frac{2}{3}\beta_c^{(0)}|\mu_0| = W\left(\frac{\pi e^2 |\mu_0|}{6E_F}\right) \quad (16)$$

6. To the same level of approximation, one predicts a latent heat per particle given by $Q^{(0)}/N = \frac{1}{3}|\mu_0| + \frac{1}{2}k_B T_c^{(0)}$, since there is a transition from a N -mer of entropy $k_B O(\ln N)$ to an atomic classical gas of entropy $Nk_B \ln[e^{3/2}/(\rho\lambda)] + k_B O(\ln N)$.

According to the validity condition (4) of the model, the argument of W must be much larger than unity in equation (16). For the parameters of figure 1, this large N approximation to $T_c^{(0)}$ reproduces the exact value within only 3% from below, even if the number of particles $N = 100$ is not very large.

Let us now go beyond the two pure phases model and try to understand why its prediction (dotted line in figure 1) is slightly shifted along the temperature axis, with respect to the numerical results. At this stage, we can point out another shortcoming of this model: at temperatures beyond the cross-over region, it assumes in practice that the system is purely atomic with a unit fragmentation rate, whereas the numerical results present a persistent deviation of about 10% from full fragmentation. This last observation is consistent with a non-negligible population of dimers at the transition, see the channel $n = 2$ in figure 1c, and gives the idea of a second order approximation, that includes, in addition to the pure atomic phase, arbitrary mixtures of atoms and dimers, so as to obtain an *atomo-dimeric phase*⁷.

To be symmetric, we also improve the competing liquid phase, even if this is quantitatively not really required for the figure 1a and 1b (the dotted line is much closer to the solid line for $T \leq 105T_F$ than for $T > 105T_F$): to the N -mer we add the *minimally dissociated* configuration with one $(N - 1)$ -mer and one atom, whose partition function is $\approx e^{-\beta|\mu_0|} \frac{L}{\lambda} Z_{N-\text{mère}}$ for $N \gg 1$. Note here the occurrence of the expected thermal activation law exponential factor, which reveals the fact that the N -mer state is protected from dissociation by an energy gap $|\mu_0|$ (in the center of mass frame) below the continuum of N -body excited states. On the contrary, the minimally dissociated phase is favored by the kinetic entropic factor $\propto L/\lambda$ provided by the relative motion of the $(N - 1)$ -mer and the atom. In the particular case of figure 1, the effect of the energy gap largely dominates over the kinetic entropic effect, $e^{-\beta|\mu_0|} \frac{L}{\lambda} \approx 0.06$ at the transition, but this is not necessarily true for a large system where L/λ can diverge.

For the extended phases that we have just described (the atomo-dimeric phase and the up-to-an-atom pure N -meric phase), the free energy and the mean fragmentation rate are plotted as dashed lines on the figure 1a and 1b. The dashed lines are significantly closer to the numerical results than the dotted line: including the dimers has lowered the free energy of the gaseous phase and explains most of the shift in temperature. The physics for this $N = 100$ particle system thus seems to be quantitatively well understood.

We cannot be sure however that the phase extension performed here is sufficient in the limit of a large system. In the gaseous phase, it remains to clarify analytically the role of dimers, or even trimers, quadrupoles, etc; in the liquid phase, as we have seen, inclusion of more severe dissociations of the N -mer may become necessary. One can even imagine that a phase of totally different nature may emerge at large N . Can all this lead to large deviations of the critical temperature from the simple estimate (13, 16), or even invalidate it? These questions that cannot easily be answered by our mesoscopic numerical calculations are treated in the next section.

4. Existence of the phase transition and various limits for a large number of particles

According to the numerical simulations of the previous section, limited to a hundred of particles, our one-dimensional system of bosons with attractive interaction should exhibit, in some macroscopic limit, a first order phase transition between a gaseous phase and a liquid phase, with a critical temperature estimated within a two pure phases approximation, see equation (13). The goal of this section is first to give an analytical proof of the existence of such a transition, with an upper bound on the error on T_c in (13); then to construct various types of thermodynamic limits, to see how they are influenced by finite size effects, and to determine to what extent the two competing phases are mainly atomic or mainly liquid, respectively.

4.1. Existence of the transition and bound on the error on T_c

Appropriate bounds on the partition function Z_{conf} of equation (11) will allow one to show in an elementary way that deviations from monoatomicity in the gaseous phase and impurity of the liquid phase do not destroy the scenario of a liquid-gas transition, provided that this transition takes place in the non-degenerate regime $\rho\lambda \ll 1$. This excludes the possibility that a third phase, that would have been missed by the mesoscopic simulations, may emerge and dominate in the large N limit. To this end, we shall define, in the configurational space, neighbourhoods of the

7. Its partition function is $Z_{\text{at-dim}} = Z_{\text{at}}S(z)$, where $z = \exp[-\beta E_0(2)]\lambda\sqrt{2}/L$ and the sum over the number of dimers s , $S(z) = \sum_{s=0}^{\lfloor N/2 \rfloor} z^s N!/[s!(N-2s)!]$, can be expressed in terms of an hypergeometric function $S(z) = {}_2F_0(-\frac{N}{2}, \frac{1}{2} - \frac{N}{2}; 4z)$.

purely atomic and N -meric phases, and we shall bound the corrections that they bring to the free energy per particle, and hence to T_c , with respect to the two pure phases approximation of the previous section.

In the neighbourhood of the monoatomic phase – Let us first take as a reference the purely atomic phase, with a partition function $Z_{\text{at}} = (L/\lambda)^N/N!$, by forming the ratio $Z_{\text{conf}}/Z_{\text{at}}$ and eliminating the atom number N_1 thanks to the conservation of the total number of particles N , $N_1 = N - \sum_{n=2}^N nN_n$. This elimination is made simpler by the expected property that $E_0(1) = 0$ in equation (1). The only non trivial remaining factor originates from the factorial due to atomic indistinguishability, that we shall simply bound,

$$\frac{N!}{N_1!} = \left(\prod_{k=1+N_1}^N k \right) \leq N^{N-N_1} = N^{\sum_{n=2}^N nN_n} \quad (17)$$

to obtain

$$\frac{Z_{\text{conf}}}{Z_{\text{at}}} \leq \prod_{n=2}^N \frac{[\alpha_n(N)]^{N_n}}{N_n!} \quad \text{with } \alpha_n(N) \equiv n^{1/2} e^{-\beta E_0(n)} N \left(\frac{N\lambda}{L} \right)^{n-1} \quad (18)$$

Intuitively, this inequality is almost saturated, and the integer numbers N_n for $n \geq 2$ almost obey a Poisson distribution with parameter $\alpha_n(N)$ if a) the number of atoms in the considered phase only very weakly differs from N in relative value (in particular one should have $|1 - \langle N_1 \rangle/N| \ll 1$), and b) the truncation effect due to conservation of the total number of particles is negligible on the distribution of N_n (in particular one should have $\alpha_n(N) \ll N/n$).

A simple physical interpretation of the quantity $\alpha_n(N)$ is obtained as follows: The partition function of a gas of $N - n$ atoms in the presence of a single n -mer, with $2 \leq n \ll N$, is approximately equal to $\alpha_n(N)Z_{\text{at}}$, so that α_n is the first correction (in relative value) to the atomic gas partition function due to the n -mers. In the expression for $\alpha_n(N)$, the factor $N^n \gg 1$ corresponds to an increase in the counting entropy, induced by the substitution of n atoms by a distinguishable n -mer. For a fixed N , the larger the size n of the n -mer is, the smaller $\alpha_n(N)$ and the less probable it is to include the n -mer, since $\rho\lambda \ll 1$; this already suggests that the trimers have a weaker effect on the free energy of the gaseous phase than the dimers, and so on.

Let us now define the *neighbourhood of maximal clustering order n_{\max}* for the atomic phase, by the set of all possible configurations composed of n -mers of arbitrary sizes n up to n_{\max} . We shall take n_{\max} less than $N/2$ so as to avoid overlap with the neighbourhood of the N -mer to be defined soon. Our neighbourhood of maximal order n_{\max} contains the purely atomic phase as a particular case, so that its partition function $Z_{\text{vois. at.}}^{(n \leq n_{\max})}$ is bounded from below by Z_{at} . It can be bounded from above by applying (18) and extending the summation over the $(N_n)_{2 \leq n \leq n_{\max}}$ to $\mathbb{N}^{n_{\max}-1}$:

$$Z_{\text{at}} \leq Z_{\text{vois. at.}}^{(n \leq n_{\max})} \equiv \sum_{\substack{\text{conf}/N_n=0 \\ \forall n > n_{\max}}} Z_{\text{conf}} \leq Z_{\text{at}} e^{\sum_{n=2}^{n_{\max}} \alpha_n(N)} \quad (19)$$

We shall use these inequalities to bound the change of critical temperature due to the presence of dimers, trimers, etc, in the gaseous phase.

In the neighbourhood of the N -mer – Let us now take as a reference the pure N -mer, with a partition function $Z_{N\text{-mère}} = \exp[-\beta E_0(N)]N^{1/2}L/\lambda$. For $k < N - k$, that is $k < N/2$, let us define its *subneighbourhood of dissociation degree k* as the set of configurations with one $(N - k)$ -mer in presence of an arbitrary distribution of the remaining k particles among atoms, dimers, ... or at most one k -mer. Its partition function will be noted as $Z_{\text{ss-vois. } N\text{-mère}}^{(k)}$. The particular case $k = 0$ corresponds to the pure N -mer.

Let us then apply the previous upper bound reasoning, up to slight modifications: as one necessarily has $N_{N-k} = 1$, and elsewhere $N_n = 0$ as soon as $n > k$, the number of atoms is now more conveniently eliminated by the relation

$$N_1 = k - \sum_{n=2}^k nN_n \quad \text{so that} \quad \frac{k!}{N_1!} = \left(\prod_{s=1+N_1}^k s \right) \leq k^{k-N_1} = k^{\sum_{n=2}^k nN_n} \quad (20)$$

One also has $(N - k)^{1/2} \leq N^{1/2}$. All this leads to an upper bound for $Z_{\text{ss-vois. } N\text{-mère}}^{(k)}$ in the same spirit as (18), except that the first corrections α_n (due to the n -mers) to the atomic phase surrounding the $(N - k)$ -mer now apply to k particles only, rather than N , hence the substitution in equation (18) of $\alpha_n(N)$ by $\alpha_n(k)$, of Z_{at} by $(L/\lambda)^k/k!$ and of the upper

bound N by k :

$$\frac{Z_{\text{conf}}}{Z_{N\text{-mère}}} \leq e^{-\beta[E_0(N-k)-E_0(N)]} \frac{(L/\lambda)^k}{k!} \prod_{n=2}^k \frac{[\alpha_n(k)]^{N_n}}{\mathcal{N}_n!} \quad (21)$$

Note that the first (exponential) factor is here a barrier to dissociation, according to the expected activation law, corresponding to the minimal energy $E_0(N-k) - E_0(N) > 0$ required to extract k particles from the N -mer, an energy which is close to $k|\mu_0|$ for $k \ll N$. On the contrary, the powers of $L/\lambda \gg 1$ favor dissociation due to a gain in kinetic entropy. Another point is that, as in the discussion that follows equation (18), the inequality (21) is expected to be saturated when the product of dissociation is almost purely atomic, in which case the n -mers (with $n \geq 2$) are distributed according to Poisson laws of parameters $\alpha_n(k)$. Let us now overbound the summation over all configurations $(\mathcal{N}_n)_{2 \leq n \leq k}$ of the subneighbourhood of degree k by extending this summation to \mathbb{N}^{k-1} , and let us define the N -mer *neighbourhood of maximal degree of dissociation* k_{\max} , by collecting all the subneighbourhoods of degree $k \leq k_{\max}$, which results in the partition function

$$Z_{\text{vois. } N\text{-mère}}^{(k \leq k_{\max})} \equiv \sum_{k=0}^{k_{\max}} Z_{\text{ss-vois. } N\text{-mère}}^{(k)} \quad (22)$$

We of course limit this definition to $k_{\max} < N/2$. We finally obtain the inequalities

$$Z_{N\text{-mère}} \leq Z_{\text{vois. } N\text{-mère}}^{(k \leq k_{\max})} \equiv \sum_{\text{conf/}\exists n \geq N-k_{\max}/N_n \neq 0} Z_{\text{conf}} \leq Z_{N\text{-mère}} \sum_{k=0}^{k_{\max}} e^{-\beta[E_0(N-k)-E_0(N)]} \frac{(L/\lambda)^k}{k!} e^{\sum_{n=2}^k \alpha_n(k)}, \quad (23)$$

that we shall use to bound the critical temperature change due to partial dissociation of the N -mer.

Implications for the phase transition – Let us test the two pure phases scenario of section 3, by extending the first phase to the gaseous phase containing n -mers of arbitrary size up to n_{\max} , and the second phase to the liquid phase containing the partially dissociated N -mer in the presence of an arbitrary phase with at most k_{\max} particles. The critical temperature $T_c^{(e)}$, where the exponent means “extended”, is then obtained by requiring that the partition function $Z_{\text{vois. at.}}^{(n \leq n_{\max})}$ of the extended gaseous phase, see equation (19), be equal to the partition function $Z_{\text{vois. } N\text{-mère}}^{(k \leq k_{\max})}$ of the generalized liquid phase, see equation (23). The implicit equation (14) is replaced by

$$\frac{1}{3} \beta_c^{(e)} |\mu_0| - \ln \left(\frac{e}{\rho \lambda_c^{(e)}} \right) + O \left(\frac{\ln N}{N} \right) = \frac{1}{N} \left(\ln \frac{Z_{\text{vois. at.}}^{(n \leq n_{\max})}}{Z_{\text{at}}} - \ln \frac{Z_{\text{vois. } N\text{-mère}}^{(k \leq k_{\max})}}{Z_{N\text{-mère}}} \right) \quad (24)$$

In order to validate the two pure phases scenario, one has to show that the right-hand side of this equation is small as compared to one of the first two terms of the left-hand side. To this end, let us make the upper bounds more explicit in the sums over n of the $\alpha_n(N)$ and the $\alpha_n(k)$, using the fact that $-\beta E_0(n)/(n-1) = n(n+1)\beta|\mu_0|/(3N^2)$, and that $n(n+1)$ is there at most $n_{\max}(n_{\max}+1)$ or $k_{\max}(k_{\max}+1)$:

$$\sum_{n=2}^{n_{\max}} \alpha_n(N) \leq N \sum_{n=2}^{n_{\max}} n^{1/2} X^{n-1} \leq N \frac{\sqrt{2}X}{(1-X)^2} \quad \text{with} \quad X = \frac{N\lambda}{L} e^{\beta|\mu_0|(n_{\max}(n_{\max}+1)/(3N^2))} \quad (25)$$

$$\sum_{n=2}^k \alpha_n(k) \leq k \sum_{n=2}^{k_{\max}} n^{1/2} Y^{n-1} \leq k \frac{\sqrt{2}Y}{(1-Y)^2} \quad \text{with} \quad Y = \frac{k_{\max}\lambda}{L} e^{\beta|\mu_0|(k_{\max}(k_{\max}+1)/(3N^2))} \quad (26)$$

For small enough values of n_{\max} and k_{\max} , we expect that $X < 1$ and $Y < 1$, a property that we used to overbound by extending the summations up to infinity⁸. Insertion of (25) in the inequalities (19) directly gives:

$$0 \leq \frac{1}{N} \ln \frac{Z_{\text{vois. at.}}^{(n \leq n_{\max})}}{Z_{\text{at}}} \leq \frac{\sqrt{2}X}{(1-X)^2} \quad (27)$$

8. We used $\sum_{n=2}^{+\infty} (n/2)^{1/2} u^{n-1} \leq \sum_{n=2}^{+\infty} (n/2) u^{n-1} = u(1-u)/(1-u)^2 \leq u/(1-u)^2$, $\forall u \in [0, 1[$.

To obtain a usable form of the upper bound (23), we note that $[E_0(N-k) - E_0(N)]/(k|\mu_0|)$ is a decreasing function of k and is smaller than its value $\eta = 1 - (k_{\max}/N) + (k_{\max}^2 - 1)/(3N^2)$ in $k = k_{\max}$. Then we use the upper bound in (26). Then we bound the resulting sum over k by the corresponding series over \mathbb{N} :

$$0 \leq \frac{1}{N} \ln \frac{Z_{\text{vois. } N\text{-mère}}^{(k \leq k_{\max})}}{Z_{N\text{-mère}}} \leq \frac{e^{-\beta|\mu_0|\eta}}{\rho\lambda} e^{\sqrt{2}Y/(1-Y)^2} \quad (28)$$

To confirm the existence of a liquid-gas phase transition at a temperature close to $T_c^{(0)}$ defined in equation (13), in the case $N \gg 1$, we maximally extend the two neighbourhoods, taking (for N odd) $n_{\max} = k_{\max} = (N-1)/2$. These maximal neighbourhoods are disjoint sets and they include as a whole *all* the possible internal configurations⁹. Let us define T_c as the temperature of equality of the partition functions of these maximal neighbourhoods, and let us bound the supposedly small deviation of T_c from $T_c^{(0)}$ by linearizing the left-hand side of equation (24), and by evaluating the right-hand side of that equation for $T = T_c^{(0)}$, which allows us to eliminate $\beta|\mu_0|$ in terms of $\rho\lambda$ in the quantities X and Y to obtain $X = 2Y = e^{1/4}(\rho\lambda_c^{(0)})^{3/4}$. We find that the upper bound in equation (27) is larger than the one in (28). As $\sqrt{2}e^{1/4} < 2$, we conclude that there exists a neighbourhood of $\rho\lambda_c^{(0)} = 0$, that is of $L/\ell = +\infty$ according to (14,16), such that

$$\frac{|T_c - T_c^{(0)}|}{T_c^{(0)}} < \frac{2(\rho\lambda_c^{(0)})^{3/4}}{\ln[e/(\rho\lambda_c^{(0)})]} \xrightarrow{\rho\lambda_c^{(0)} \rightarrow 0} 0 \quad (29)$$

Therefore there is indeed a liquid-gas transition in such a neighbourhood, in thermodynamic limits that we now have to specify. We note *en passant* that the upper bound in (28), even if it is good enough in the present discussion on the existence of the transition close to $T_c^{(0)}$, has the bad property of diverging as $1/(\rho\lambda)$ at very high temperature, so that it must be improved if one wishes to exclude the presence of a transition at temperatures arbitrarily higher than $T_c^{(0)}$. This is done in Appendix A.

4.2. A limit in which the model is exact

As is apparent in the caption of figure 1, the figure only depends on two dimensionless parameters, the number of particles N and the box length scaled by the diameter of the dimer, L/ℓ . To take the thermodynamic limit, the most natural way is to let N tend as usual to infinity for fixed interaction strength and mean density, which corresponds to

$$N \rightarrow +\infty \text{ with } \rho\ell = \text{constant} \quad (30)$$

This makes the first validity condition (4) of the model exactly satisfied.

Let us first determine the critical temperature $T_c^{(0)}$ of the simplest, two pure phases approximation of section 3. According to (4), the limit (30) implies that $(|\mu_0|/E_F)^{1/2} = N/(\pi\rho\ell) \rightarrow +\infty$; this may look strange to the reader and we shall come back to this point in section 4.3. By iteration of the implicit equation (15), taking into account the fact that $\beta_c^{(0)}|\mu_0|$ is much larger than its logarithm, we obtain the asymptotic behavior:

$$\frac{1}{3}\beta_c^{(0)}|\mu_0| \underset{N \rightarrow +\infty}{=} \ln N - \frac{1}{2} \ln \ln N + \ln \frac{e}{\rho\ell \sqrt{12\pi}} + O\left(\frac{\ln \ln N}{\ln N}\right) \quad (31)$$

When N diverges, the critical temperature $T_c^{(0)}$ thus very slowly becomes arbitrarily smaller than the chemical potential of the N -mer. Furthermore, the last two validity conditions (5, 7) of the model become arbitrarily well satisfied at that temperature:

$$\frac{\rho\lambda_c^{(0)}}{\rho\ell} = \frac{\lambda_c^{(0)}}{\ell} \underset{N \rightarrow +\infty}{\sim} \frac{(12\pi \ln N)^{1/2}}{N} \rightarrow 0 \quad (32)$$

In other words, the simple model (10,11) is asymptotically exact. Last, due to the fact that $\rho\lambda_c^{(0)} \rightarrow 0$ essentially as a power law, the equation (29) gives the important result that the two pure phases approximation is also asymptotically exact for the calculation of T_c :

$$(k_B T_c - k_B T_c^{(0)})/|\mu_0| = O(1/N^{3/4}) \underset{N \rightarrow +\infty}{\rightarrow} 0 \quad (33)$$

9. A configuration either has no n -mer with a size larger than $N/2$, in which case it belongs to the maximal neighbourhood of the monoatomic gas; or it has such a n -mer, and necessarily at most one, in which case the configuration belongs to the maximal neighbourhood of the N -mer.

This does not imply that the dimers have a negligible contribution to the gaseous phase partition function, or that their mean number in that phase tends to zero. From a study of the atomo-dimeric partition function, see section 3, or more simply by using the fact that the gaseous phase is here in the quasi-poissonian regime defined below equation (18), we find on the contrary that $Z_{\text{at-dim}}/Z_{\text{at}}$ diverges as $\exp[\alpha_2(N)]$, and that the mean number of dimers diverges as $\alpha_2(N)$, where $\alpha_2(N)$ is defined in (18) and diverges as $(\ln N)^{1/2}$ at the transition. This is however $o(N)$ and too slow to asymptotically contribute to the free energy per particle or to the mean fragmentation rate. Even better, the inclusion of trimers brings, according to (18), a negligible contribution to the partition function as compared to Z_{at} , since this contribution is bounded by $\exp[\alpha_2(N)]\{\exp[\alpha_3(N)] - 1\} \rightarrow 0$; also, the mean number of trimers tends to zero as $\alpha_3(N)$ at the transition. Similarly, the liquid phase is asymptotically pure there, because the probability that it contains an unbound atom tends to zero as $\exp(-\beta_c|\mu_0|)L/\lambda_c$, that is as $\ln N/N$, see section 3. As a consequence, one can determine the scaling law of the thermodynamic limit simply using the two pure phases approximation. For example, one gets the following universal law for the mean fragmentation rate¹⁰:

$$\langle v \rangle \underset{N \rightarrow +\infty}{\rightarrow} \frac{\exp \delta}{1 + \exp \delta} \quad \text{à} \quad \delta \equiv \frac{T - T_c}{T_c} N \left(\frac{1}{2} + \frac{1}{3} \beta_c^{(0)} |\mu_0| \right) \text{ fixé}, \quad (34)$$

This means that the relative temperature width of the cross-over region vanishes as $1/(N \ln N)$.

4.3. A more usual thermodynamic limit

The large N limit of section 4.2 is inappropriate for an experimental realisation at fixed interaction strength, since $|\mu_0|$ then diverges as N^2 and the condition for the one-dimensionality of the system ($|\mu_0|$ small as compared to the transverse vibrational energy quantum $\hbar\omega_\perp$) is asymptotically unreachable at the transition¹¹. This gives the idea of fixing the value of Ng to a constant in the experiment, by tuning g with a Feshbach resonance. The limit (30) then corresponds to $N^2/L = \text{constant}$, which is unusual. Let us rather consider here the limit

$$N \rightarrow +\infty \quad \text{with} \quad \frac{L}{\ell} = \text{constant} \quad (35)$$

that indeed leads to a constant density ρ at fixed Ng , and to a constant ratio $|\mu_0|/E_F$ as expected in a regular thermodynamic limit. Then $\beta_c^{(0)}|\mu_0|$ has a finite limit, given by (16), and $\rho\lambda_c^{(0)}/e = \exp(-\beta_c^{(0)}|\mu_0|/3)$. However, $T_c^{(0)}$ no longer coincides with T_c ; it is only a good approximation in a sufficiently non degenerate regime, as guaranteed by the mathematical result (29)¹². The same conclusion holds for the universal relation (34), that now predicts a width of the cross-over region scaling as $1/N$. The first two validity conditions (4,5) of the model are now only approximately obeyed; only the third condition (7) is exactly fulfilled when $N \rightarrow +\infty$ at the transition.

Even if the mathematical result (29) has to consider the maximal neighbourhoods of the two pure phases, with $n_{\max} \sim k_{\max} \sim N/2$, to be rigorous, it is physically expected that the first corrections to $T_c^{(0)}$ actually originate from narrower neighbourhoods $n_{\max} \ll N/2$ et $k_{\max} \ll N/2$. As the close neighbourhood of the purely atomic gas is quasi-poissonian at the transition, as defined below equation (18), we find that its leading contribution to the right-hand side of (24) is the one $\alpha_2(N)/N \rightarrow \sqrt{2}\rho\lambda$ of the dimers¹³, the contribution of the trimers $\alpha_3(N)/N$ being $O(\rho\lambda)^2$, etc. We realize however that there is a *limitation* to our model: although it is non degenerate, the purely atomic phase remains

10. One simply sets $T = T_c^{(0)}/(1 - \epsilon)$, so that $Z_{\text{at}}/Z_{N-\text{mère}} = \exp[-\ln(1 - \epsilon)(N - 1)/2] \exp[-\epsilon\beta_c^{(0)}E_0(N)]$, with $(N - 1)\ln(1 - \epsilon) \simeq -N\epsilon$ and $\beta_c^{(0)}E_0(N) \simeq -\beta_c^{(0)}|\mu_0|N/3$. Using (31) and a numerical opto-dimeric calculation (cf. the dashed line in figure 1), one finds for $\rho\ell = 1$ that (34) is already almost reached for $N = 1000$.

11. This one-dimensionality condition also justifies the use of a Dirac δ function for the interaction potential, at least in the usual cold atom case where the real three-dimensional interaction V_{3D} has a negligible range as compared to the mean interparticle distance [3]. It was indeed shown in [22] that, due to the transverse harmonic confinement, V_{3D} induces in one-dimension an effective interaction of non-zero effective range $r_e \approx [\hbar/(m\omega_\perp)]^{1/2}$. This effective range is negligible in the Born regime under the sufficient condition $k_{\text{rel}}|r_e| \ll 1$ where the relative wavevector is here $k_{\text{rel}} = O(N/\ell)$.

12. The more precise forms (27,28) guarantee the existence of a solution T_c to the equation $Z_{\text{vois. } N-\text{mère}}^{(k \leq N/2)}(T) = Z_{\text{vois. at}}^{(n \leq N/2)}(T)$ as soon as $L/\ell > 105.1$.

13. To go beyond the poissonian approximation, we have applied the method of Laplace to the sum $S(z)$ of the footnote 7, after having used Stirling's formula and replaced the sum over s by an integral over $x = 2s/N$. Then $Z_{\text{at-dim}}/Z_{\text{at}} \sim \exp[Nu(x_0)]/(1 + x_0)^{1/2}$ when $N \rightarrow +\infty$, with $u(x) = (x/2)\ln[2\sqrt{2}\rho\lambda(ex)] - (1 - x)\ln(1 - x)$ and x_0 is the root of $u'(x)$ in the interval $[0, 1]$. One always has $u(x_0) < \sqrt{2}\rho\lambda$, in agreement with the upper bound (19) applied to $n_{\max} = 2$, and $u(x_0) \sim \alpha_2(N)/N$ if $\rho\lambda \rightarrow 0$.

in reality a bosonic gas, and its partition function $Z_{\text{at}}^{\text{Bose}}$ already deviates from the classical gas one $Z_{\text{at}} = (L/\lambda)^N/N!$ to first order in $\rho\lambda$ [17], $N^{-1} \ln(Z_{\text{at}}^{\text{Bose}}/Z_{\text{at}}) = 2^{-3/2}\rho\lambda + O(\rho\lambda)^2$, which brings a correction to the critical temperature to the same order in $\rho\lambda$ as the one of the dimers, but which is ignored by the model.

To estimate the contribution of the close neighbourhood of the N -mer, we take inspiration from the above discussion and assume, to leading order in $\rho\lambda$, that the N -mer is weakly dissociated in a purely atomic gas with k particles, well in the poissonian regime. This amounts to saying that the second inequality in (23) is almost saturated, that the $\alpha_n(k)$ are negligible, and that the N -mer dissociates into a $(N - k)$ -mer plus k particles with an essentially poissonian weight, since one takes $k_{\max} \ll N/2$:

$$Z_{\text{ss-vois. } N\text{-m\`ere}}^{(k)} / Z_{N\text{-m\`ere}} \simeq \frac{\gamma^k}{k!} \quad \text{where} \quad \gamma = N \frac{e^{-\beta|\mu_0|}}{\rho\lambda} \quad (36)$$

At the transition, the mean dissociation rate of the liquid phase is then $\gamma/N \simeq (\rho\lambda_c^{(0)})^2/e^3$, which brings to the right-hand side of (24) a contribution negligible as compared to the one of the dimers of the gaseous phase.

Beyond the model – In order to determine the true correction to $T_c^{(0)}$ to first order in $\rho\lambda$, let us apply to the gaseous phase¹⁴ a systematic approach at high temperature, that is the quantum virial expansion, $N^{-1} \ln(Z_{\text{gaz}}^{\text{Bose}}/Z_{\text{at}}) = b_2\rho\lambda + O(\rho\lambda)^2$, that includes at this order quantum statistics, atomic interactions and the presence of dimers [23]. With the method of §2.3 of reference [24]¹⁵ we find for attractive interactions $b_2/\sqrt{2} = (e^u/2)[1 + \text{erf}(u^{1/2})] - 1/4$, where $u \equiv \beta|E_0(2)|$; in the limit (35), $u \rightarrow 0$ so that $b_2 \rightarrow 2^{-3/2}$, which reduces to the effect of quantum statistics, contrarily to the predictions of the model, and makes the temperature shift attributed to the dimers in figure 1 not meaningful¹⁶! We interpret this as being due to the orthogonality of the diatomic unbound states with the dimer state, a fact not taken into account in the model; if the coupling constant g was changing from 0^+ to 0^- , the dimer state would appear but a diatomic unbound state would disappear, at the energy scale $|E_0(2)| \ll k_B T$, leading to a compensation in b_2 : the second cluster coefficient b_2 indeed varies continuously around $g = 0$. In our corrected model, we finally obtain the following implicit equation for the critical temperature of the liquid-gas transition in the limit (35):

$$\frac{1}{3}\beta_c|\mu_0| \stackrel{\text{corrected}}{=} \underset{\text{model}}{\ln\left(\frac{e}{\rho\lambda_c}\right)} + 2^{-3/2}\rho\lambda_c + O(\rho\lambda_c)^2 \quad (37)$$

5. Conclusion

We have here restricted our study of the unidimensional system of attractive ($g < 0$) bosons to the particular case of a big box, with a length L much larger than the diameter ℓ of the two body bound state. This means that, in a uniform distribution of the N bosons at the density $\rho = N/L$ in the box, the mean interparticle spacing $1/\rho$ is much larger than the ground N -mer of diameter $\xi \simeq \hbar^2/(Nm|g|)$ and density profile $[N/(4\xi)]/\cosh^2[x/(2\xi)]$ at large N . In short, we are in the regime $\rho\xi = \ell/(2L) \ll 1$.

In this particular regime and at thermal equilibrium, we have shown that a liquid-gas transition occurs in the thermodynamic limit, at a temperature T_c given to various orders of approximation by (16,37), and so high that the system lies in the non-degenerate regime $\rho\lambda_c \ll 1$, where λ_c is the corresponding thermal de Broglie wavelength. Over

14. In the liquid phase, one can apply Bogoliubov theory to the bright soliton if the Bogoliubov quasi-particles, of spectrum $\epsilon_k = |\mu_0| + \hbar^2 k^2/(2m)$, are a number $\delta N = \sum_k [\exp(\beta\epsilon_k) - 1]^{-1} \ll N$, which imposes $k_B T \ll |\mu_0|$ if $\rho\lambda \ll 1$, that is $\delta N/N \simeq e^{-\beta|\mu_0|}/(\rho\lambda) \ll 1$: in the limit (35) for fixed Ng , the corresponding partition function obeys $N^{-1} \ln Z_{\text{Bog}} = \frac{1}{3}\beta|\mu_0| + (\rho\lambda)^{-1} \sum_{s \geq 1} \exp(-\beta|\mu_0|s)/\sqrt{s}$, with a leading $s = 1$ term, for $k_B T \ll |\mu_0|$, that is indeed correctly given by (36); the contribution to $N^{-1} \ln Z_{\text{Bog}}$ of the phase shift $\theta(k) = -4 \arctan(k\ell/N)$ due to the soliton [see above (9)] indeed tends to zero at large N , as $-(4\ell/L) \exp(-\beta|\mu_0|)[1 + O(k_B T/|\mu_0|)]/(N\rho\lambda)$.

15. As in [25, 26] we use a harmonic regulator of angular frequency ω , so that $b_2/\sqrt{2} = 1/4 + \lim_{\omega \rightarrow 0} \sum_{q \geq 0} (e^{-\beta\epsilon_q} - e^{-\beta\epsilon_q^{(0)}})$ where $(\epsilon_q)_{q \in \mathbb{N}}$ is the spectrum of $H = p^2/m + m\omega^2x^2/4 + g\delta(x)$ restricted to the even (bosonic) states, solving $\Gamma(\frac{1}{4} - \frac{\epsilon_q}{2\hbar\omega})/\Gamma(\frac{3}{4} - \frac{\epsilon_q}{2\hbar\omega}) = -2(2\hbar\omega/m)^{1/2}\hbar/g$ [27] and $\epsilon_q^{(0)} = (2q + 1/2)\hbar\omega$ is the corresponding $g = 0$ spectrum. If $\omega \rightarrow 0$ for a fixed $g < 0$, $\epsilon_0 \rightarrow E_0(2)$ and $\epsilon_{q \geq 1} = \hbar\omega[2q - 1/2 + 2\Delta(\epsilon_q) + O(1/q)] \geq 0$, with $\Delta(\epsilon) \equiv (1/\pi) \arctan\{[-\epsilon/E_0(2)]^{1/2}\}$. If $g > 0$, $\epsilon_{q \geq 0} = \hbar\omega[2q + 3/2 - 2\Delta(\epsilon_q) + O(1/q)] \geq 0$ with the same function $\Delta(\epsilon)$. It remains to replace the sum over q by an integral over ϵ_q , to obtain b_2 as given in the text for $g < 0$, and $b_2/\sqrt{2} = \frac{e^u}{2}[1 - \text{erf}(u^{1/2})] - \frac{1}{4}$ (in agreement with [28]) for $g > 0$.

16. On the contrary, the fraction of dimers predicted by the model in the gaseous phase agrees with the one $\sqrt{2}\rho\lambda \exp[-\beta E_0(2)]$ deduced from b_2 .

an interval of temperature of width $O(1/N)T_c$, the system changes from an essentially monoatomic uniform gaseous phase of density ρ [with a $O(\rho\lambda_c)^n$ fraction of n -mers], to a liquid phase in the form of a single inhomogeneous drop of diameter ξ , surrounded by a small $O(\rho\lambda_c)^2$ gaseous fraction which is mainly monoatomic and uniform.

On a theoretical point of view, our result seems to contradict a general argument due to Landau, that precludes the coexistence of two different phases in unidimensional systems with short range interactions, due to the fact that these phases have a tendency to experience arbitrarily high fragmentation and to form an emulsion [23]. However the n -mers here do not constitute an ordinary extensive liquid with a density bounded from above: their energy $E_0(n)$ is not a linear function of the number of particles n at large n ; it is rather a cubic function, so that the splitting of the liquid in mesoscopic or macroscopic fragments has a very high energy cost (for example $(3/4)|E_0(N)|$ if one cuts the N -mer into two halves), and it is not simply proportional to the number of fragments with an intensive proportionality factor as it was supposed in §163 of reference [23].

At this stage, one may formulate the following objection: The lack of extensivity of the predicted liquid phase results from the Dirac delta function interaction potential, which should become unrealistic when $N \rightarrow +\infty$ since the liquid density then (presumably) diverges. In this limit, any realistic model for the interaction is expected to exhibit some finite range effect, such as a hard-core contribution. In the thermodynamic limit, however, it is the dimensionless quantity L/ℓ that matters, see equation (35), rather than the length ℓ . The objection can thus be circumvented by adjusting the interaction strength with the particle number N , thanks to a Feshbach resonance for ultracold atoms, in such a way that the central liquid density $N/(4\xi)$ remains constant. This requires that N^2/ℓ remains constant, so that the coupling constant g has to vanish as $1/N^2$. According to (35), the box length L then diverges as N^2 , and the ground liquid phase chemical potential μ_0 , the gaseous phase Fermi energy E_F and the transition temperature T_c all vanish as $1/N^2$. At the transition temperature, however, the quantum degeneracy parameter $\rho\lambda_c$ remains fixed, and so does the entropy per particle in the gaseous phase, which shows that these low $\propto 1/N^2$ temperatures can in principle be reached by adiabatic cooling.

The lack of extensivity of the liquid phase may have an important consequence on the metastability of the gaseous phase below the transition temperature. In general, it is known that a slowly cooled macroscopic gas in principle presents a very large delay to liquefaction, due to the extensive free energy barrier between the two phases, but in practice, this is avoided by local nucleation of droplets. Here this local mechanism may be inhibited by the strong non linearity of $E_0(n)$ with n . Let us indeed isolate in thought a small fraction of the gaseous phase with N' particles, with $1,\rho\ell \ll N' \ll N$, which is allowed by its homogeneity and the absence of long range interaction. As the liquefaction temperature T_c of equation (14) is, within logarithmic corrections, proportional to the binding energy of a particle in the liquid that forms, it becomes obvious that the small fraction shall liquefy at a temperature $T'_c \propto N'^2$ much smaller than the one $\propto N^2$ of the whole gas.

If it happens that this metastability constitutes a serious experimental handicap, a way out could be to measure the free energies of the two phases on both sides of the critical temperature, using a gradual heating of the already observed liquid phase at low temperature [3, 4] and a slow cooling of the easy-to-prepare gaseous phase at high temperature, and then to realise that the free energies cross at T_c . The free energy $F(T)$ can indeed be deduced from the mean energy $E(T)$ by integration of the relation $E = \partial_\beta(\beta F)$, where $\beta = 1/(k_B T)$. The mean energy, as it was shown in reference [29], is a known functional of the momentum distribution $n(k)$ of the particles, that can be measured by time of flight after abrupt switch-off of the interactions thanks to a Feshbach resonance.

All this allows us to reasonably hope that an experimental test of our scenario is possible, maybe leading to the observation of a liquid-gas transition with ultracold atoms, which would constitute a “grande première”.

Acknowledgments

The group of Y.C. is also affiliated to IFRAF. One of us (C.H.) has received a Fulbright grant for his 1997-1998 stay in Paris, where he has accomplished most of this work, as well as National Science Foundation grants PHY-1316617 and 0844827; he also thanks the Sloan Foundation. M.O. was supported by grants from the Office of Naval Research (N0004-12-1-0400) and the National Science Foundation (PHY-1019197). We thank Christoph Weiss for his incitation to finalize this project.

Appendix A. An improved upper bound for the N -mer neighbourhood at very high temperature

In the main text, see equation (28), we have obtained the following upper bound of the partition function of the N -mer neighbourhood of maximal degree of dissociation $k_{\max} < N/2$:

$$\frac{1}{N} \ln Z_{\text{vois. } N\text{-mère}}^{(k \leq k_{\max})} \leq \frac{1}{N} \ln Z_{N\text{-mère}} + \theta \quad \text{with } \theta = \frac{e^{-\beta|\mu_0|\eta}}{\rho\lambda} e^{\sqrt{2}Y/(1-Y)^2} \quad (\text{A.1})$$

This upper bound is useful close to the critical temperature but it is not in the limit of very high temperatures, in particular $T \gg T_c^{(0)}$. When $\rho\lambda \rightarrow 0$ indeed, $\beta|\mu_0|$ tends to zero, as well as Y , according to the equality

$$\beta|\mu_0| = \frac{1}{4\pi}(\rho\lambda)^2(L/\ell)^2 \quad (\text{A.2})$$

Then $N^{-1} \ln Z_{N\text{-mère}}$ tends to zero as $(\rho\lambda)^2$, but θ diverges as $1/(\rho\lambda)$, that is faster than $N^{-1} \ln Z_{\text{at}}$, which grows logarithmically only, as $\ln[e/(\rho\lambda)]$. The upper bound (A.1) is thus not sufficient to mathematically exclude the existence of a transition other than the one discussed in this paper, at a higher temperature.

The existence of such a competing transition can fortunately be excluded by a simple improvement of the upper bound in (A.1). One simply has to stop before the last step having led to (28), that is one keeps the finite sum over k :

$$\frac{1}{N} \ln \frac{Z_{\text{vois. } N\text{-mère}}^{(k \leq k_{\max})}}{Z_{N\text{-mère}}} \leq \frac{1}{N} \ln \sum_{k=0}^{k_{\max}} \frac{(N\theta)^k}{k!} = \frac{1}{N} \ln \left[\frac{e^{N\theta}}{k_{\max}!} \Gamma(1 + k_{\max}, N\theta) \right] \quad (\text{A.3})$$

where Γ is the incomplete Gamma function. The integral representation of this function leads to the following discussion, for $N \rightarrow +\infty$ at fixed θ and k_{\max}/N , which corresponds to the usual thermodynamic limit of section 4.3. If $N\theta/k_{\max} < 1$, an equivalent of the upper bound in (A.3) is indeed obtained by extending the sum over k to the entire \mathbb{N} , and one recovers (28). If $N\theta/k_{\max} > 1$, an equivalent is obtained by the upper bound

$$\sum_{k=0}^{k_{\max}} \frac{(N\theta)^k}{k!} = \frac{(N\theta)^{k_{\max}}}{k_{\max}!} \sum_{k'=0}^{k_{\max}} \frac{1}{(N\theta)^{k'}} \frac{k_{\max}!}{(k_{\max} - k')!} \leq \frac{(N\theta)^{k_{\max}}}{k_{\max}!} \sum_{k'=0}^{+\infty} \left(\frac{k_{\max}}{N\theta} \right)^{k'} \quad (\text{A.4})$$

where we have set $k' = k_{\max} - k$, we have used an upper bound of the type (17) and we have extended the summation over k' to \mathbb{N} . The logarithm of the resulting geometric series is bounded and has a vanishing contribution in the thermodynamic limit. In other words, depending on the fact that $N\theta/k_{\max}$ is less than or larger than one, the sum over k in (A.3) is dominated by its last or its first terms, at large N . We finally keep:

$$0 \leq \frac{1}{N} \ln \frac{Z_{\text{vois. } N\text{-mère}}^{(k \leq k_{\max})}}{Z_{N\text{-mère}}} \leq \begin{cases} \theta & \text{if } N\theta/k_{\max} < 1 \\ \frac{k_{\max}}{N} \ln(eN\theta/k_{\max}) & \text{if } N\theta/k_{\max} > 1 \end{cases} \quad (\text{A.5})$$

In the limit $\rho\lambda \rightarrow 0$, the upper bound in (A.5) diverges logarithmically only, with a prefactor $k_{\max}/N < 1/2$, that is at least two times less rapidly than $N^{-1} \ln Z_{\text{at}}$.

In the case of the maximally extended neighbourhoods of the atomic phase ($n_{\max} = N/2$) and of the N -mer ($k_{\max} = N/2$), we show, in figure A.2, the lower bound and the upper bound of $N^{-1} \ln Z_{\text{vois.}}$, where $Z_{\text{vois.}}$ is the partition function of each neighbourhood, as deduced from the bracketings (27), (28) and (A.5), as a function of $\rho\lambda$ and for $L/\ell = 150$. Contrarily to (28), the improved bracketing allows to conclude without ambiguity that the liquid-gas transition takes place at a critical temperature close to $T_c^{(0)}$, even if one takes into account arbitrarily small values of $\rho\lambda$, keeping in mind that the thermodynamically favoured phase is, at fixed temperature, the one with the largest partition function (that is, with the smallest free energy).

References

- [1] Z. Hadzibabic, P. Krüger, M. Cheneau, B. Battelier, J. Dalibard, *Nature* **441**, 1118 (2006).
- [2] C. Chin, R. Grimm, P. Julienne, E. Tiesinga, *Rev. Mod. Phys.* **82**, 1225 (2010).
- [3] L. Khaykovich, F. Schreck, G. Ferrari, T. Bourdel, J. Cubizolles, L.D. Carr, Y. Castin, C. Salomon, *Science* **296**, 1290 (2002).

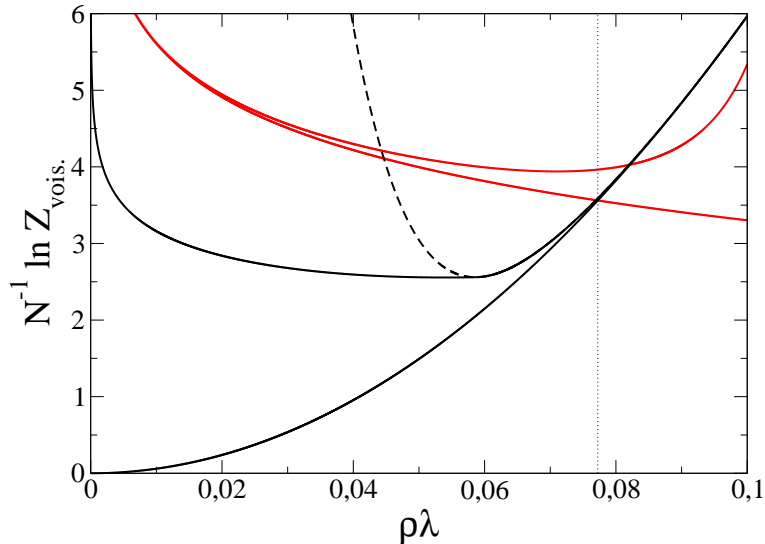


Figure A.2: Bracketings of the partition functions $Z_{\text{vois.at}}^{(n \leq N/2)}$ and $Z_{\text{vois.N-mère}}^{(k \leq N/2)}$, more precisely of their logarithm per particle $N^{-1} \ln Z_{\text{vois.}}$, as functions of $\rho\lambda$ for $L/\ell = 150$ in the thermodynamic limit $N \rightarrow +\infty$. For the gaseous phase, the bracketing corresponds to the lower bound and the upper bound in (27) (red solid lines). For the liquid phase, the bracketing corresponds to the lower bound and the upper bound in (A.5) (black solid lines), or to the upper bound in (28) (black dashed line). The value of $\rho\lambda$ at the zeroth order estimate $T_c^{(0)}$ of the transition temperature is shown by the vertical dotted line, at the intersection of the lower red and black solid lines. The improved upper bound (A.5), contrarily to the one of (28), excludes the existence of a phase transition at a temperature arbitrarily higher than $T_c^{(0)}$.

- [4] K.E. Strecker, G.B. Partridge, A.G. Truscott, R.G. Hulet, *Nature* **417**, 150 (2002).
- [5] J.B. McGuire, *J. Math. Phys.* **5**, 622 (1964).
- [6] J. von Stecher, *J. Phys. B* **43**, 101002 (2010).
- [7] V. Efimov, *Sov. J. Nucl. Phys.* **12**, 589 (1971) ; V. Efimov, *Nucl. Phys. A* **210**, 157 (1973) ; A. Bulgac, V. Efimov, *Sov. J. Nucl. Phys.* **22**, 296 (1975).
- [8] S. Piatecki, W. Krauth, arXiv:1307.4671
- [9] B.S. Rem, A.T. Grier, I. Ferrier-Barbut, U. Eismann, T. Langen, N. Navon, L. Khaykovich, F. Werner, D.S. Petrov, F. Chevy, C. Salomon, *Phys. Rev. Lett.* **110**, 163202 (2013).
- [10] P. Makotyn, C.E. Klauss, D.L. Goldberger, E.A. Cornell, D.S. Jin, *Nature Physics* **10**, 116 (2014).
- [11] M. Gaudin, *La fonction d'onde de Bethe* (Masson, Paris, 1983).
- [12] E.H. Lieb, W. Liniger, *Phys. Rev.* **130**, 1605 (1963).
- [13] Y. Castin, C. Herzog, *C. R. Acad. Sci. Paris, t. 2, série IV*, p. 419 (2001).
- [14] P. Calabrese, J.-S. Caux, *Phys. Rev. Lett.* **98**, 150403 (2007) ; P. Calabrese, J.-S. Caux, *J. Stat. Mech.* P08032 (2007).
- [15] A.L. Gaunt, T.F. Schmidutz, I. Gotlibovych, R.P. Smith, Z. Hadzibabic, *Phys. Rev. Lett.* **110**, 200406 (2013).
- [16] V. Dunjko, C.P. Herzog, Y. Castin, M. Olshanii, arXiv:cond-mat/0306514
- [17] B. Diu, C. Guthman, D. Lederer, B. Roulet, *Physique Statistique* (Hermann, Paris, France, 1989).
- [18] D.J. Kaup, *Phys. Rev. A* **42**, 5689 (1990).
- [19] S. Sinha, A. Yu. Cherny, D. Kovrizhin, J. Brand, *Phys. Rev. Lett.* **96**, 030406 (2006).
- [20] Y. Castin, *Eur. Phys. J. B* **68**, 317 (2009).
- [21] G.H. Hardy, S. Ramanujan, *C. R. Acad. Sci. Paris*, **164** (1), 35 (1917) ; G.H. Hardy, S. Ramanujan, *Proc. Lond. Math. Soc.* **17**, 75 (1918).
- [22] V. Dunjko, V. Lorent, M. Olshanii, *Phys. Rev. Lett.* **86**, 5413 (2001).
- [23] L. Landau, E. Lifchitz, *Physique statistique* (Mir editions, Moscou, 1984)
- [24] Y. Castin, F. Werner, *Rev. Can. Phys.* **91**, 382 (2013).
- [25] A. Comtet, Y. Georgelin, S. Ouvry, *J. Phys. A* **22**, 3917 (1989) ; J. McCabe, S. Ouvry, *Phys. Lett. B* **260**, 113 (1990).
- [26] Xia-Ji Liu, Hui Hu, P. D. Drummond, *Phys. Rev. Lett.* **102**, 160401 (2009) ; *Phys. Rev. A* **82**, 023619 (2010).
- [27] T. Busch, B.G. Englert, K. Rzazewski, M. Wilkens, *Found. Phys.* **28**, 549 (1998).
- [28] S. Servadio, *J. Math. Phys.* **12**, 2413 (1971); L.R. Dodd, A.M. Gibbs, *J. Math. Phys.* **15**, 41 (1974).
- [29] M. Olshanii, V. Dunjko, *Phys. Rev. Lett.* **91**, 090401 (2003).

Une transition liquide-gaz pour des bosons en interaction attractive à une dimension

Christopher Herzog^a, Maxim Olshanii^b, Yvan Castin^c

^a*YITP, Stony Brook University, Stony Brook, NY 11784, USA*

^b*Department of Physics, University of Massachusetts at Boston, Boston, MA 02125, USA*

^c*Laboratoire Kastler Brossel, École normale supérieure, CNRS et UPMC, Paris, France*

Résumé

Nous considérons, en dimension un, une assemblée de N particules quantiques bosoniques interagissant par un potentiel de Dirac attractif, à l'équilibre thermique dans une boîte de quantification de longueur L avec des conditions aux limites périodiques. Pour de grandes valeurs de N , et lorsque L est bien supérieur au diamètre de l'état dimère dans l'espace réel, nous prédisons, par étude numérique et analytique d'un modèle simple mais déduit des premiers principes, que le système présente, à haute température c'est-à-dire dans le régime non dégénéré, une transition du premier ordre entre deux phases. La phase privilégiée à haute température est un gaz presque pur d'atomes, avec une faible fraction de dimères, et des fractions encore plus faibles de trimères, etc. La phase qui la supplante à moins haute température est un état lié mésoscopique ou macroscopique que nous qualifions de liquide, équivalent quantique du soliton brillant de la théorie de champ classique, et qui renferme toutes les particules du système, à l'exception d'une petite fraction gazeuse composée essentiellement d'atomes.

Mots-clés : gaz de bosons unidimensionnel ; soliton brillant ; liquide quantique ; atomes froids

1. Introduction et motivations

Depuis une vingtaine d'années, les expériences sur les atomes froids font preuve de leur extrême flexibilité dans le contrôle des paramètres et de la géométrie. En figeant par piégeage laser le mouvement des atomes dans leur état vibrationnel fondamental selon une ou deux directions de l'espace, on prépare des systèmes de dimensionalité effective réduite, ce qui a conduit par exemple à l'observation dans un gaz atomique bidimensionnel de la transition de Berezinskii-Kosterlitz-Thouless [1]. De plus, par simple application d'un champ magnétique au voisinage d'une résonance de Feshbach, on peut ajuster la longueur de diffusion dans l'onde s , donc l'amplitude des interactions atomiques [2]. L'application adiabatique de ces deux outils (confinement transverse puis passage de la longueur de diffusion d'une valeur positive à une valeur négative) à un condensat de Bose-Einstein tridimensionnel presque pur, a permis les premières observations de N -mères dans un gaz atomique unidimensionnel en interaction attractive [3, 4], c'est-à-dire d'états liés à N corps dont l'existence est prédicta par la théorie purement quantique pour tout $N > 1$ [5], et qui correspondent pour de grandes valeurs de N aux solitons brillants de l'équation de champ classique (Gross-Pitaevskii ou Schrödinger non linéaire).

Dans ce travail, nous identifions un autre mécanisme de formation de ces N -mères, purement à l'équilibre thermique¹ et dans un régime physique totalement différent. Nous montrons en effet qu'un gaz de bosons spatialement homogène, certes unidimensionnel et en interaction attractive, mais dans un régime non dégénéré, peut être thermodynamiquement moins favorable, c'est-à-dire d'énergie libre plus élevée, qu'une phase N -mérique presque pure. En d'autres termes, la phase gazeuse non dégénérée peut présenter une transition du premier ordre vers une phase presque entièrement liée, que nous qualifions de « liquide » dans une limite thermodynamique à préciser.

1. On peut résoudre l'apparente contradiction entre l'hypothèse d'équilibre thermique et l'intégrabilité du système en thermalisant ce dernier par contact avec un gaz tampon d'une autre espèce chimique.

Il se trouve que la notion de transition de phase liquide-gaz dans un système d'atomes bosoniques froids est d'une criante actualité en dimension trois, dans la limite dite unitaire d'une interaction de portée négligeable et de longueur de diffusion infinie. Après la découverte numérique d'états liés fort probablement liquides [6], de $N = 3$ (les trimères d'Efimov [7]) jusqu'aux plus grandes valeurs de N accessibles (quelques dizaines), une telle transition a été très récemment mise en évidence par simulation de Monte-Carlo quantique sur une centaine de particules [8]. Cependant, la réalisation expérimentale en est rendue difficile par les fortes pertes à trois corps induites par l'effet Efimov [9, 10], et pourrait nécessiter une expérience dédiée.

Dans ce contexte, notre étude en dimension un semble présenter un double intérêt théorique et pratique. D'une part, l'intégrabilité de la théorie permet, sous des conditions que nous précisons en section 2, de construire de façon contrôlée un modèle, simple ensuite à étudier numériquement et à interpréter analytiquement, comme nous le ferons en section 3, y compris dans des limites thermodynamiques bien choisies, voir la section 4. D'autre part, l'insignifiance des pertes à trois corps, loin ici de la limite unitaire, permet d'envisager une réalisation expérimentale à court terme avec des atomes froids, ce sur quoi nous reviendrons dans la conclusion.

2. Construction du modèle

Nous considérons N particules bosoniques quantiques sans spin de masse m , vivant en dimension un sur l'axe Ox en l'absence de potentiel extérieur, et en interaction binaire par le potentiel de Dirac attractif $V(x_i - x_j) = g\delta(x_i - x_j)$, avec $g < 0$ donc. Une propriété fondamentale de ce modèle hamiltonien est son intégrabilité, puisqu'on peut en déterminer les fonctions d'onde propres par ansatz de Bethe [11], au prix de l'ajout par rapport au cas habituel répulsif [12] de quasi-vecteurs d'onde complexes [13, 14], ce que rend nécessaire l'existence d'états propres d'énergie négative, comme les auteurs de la référence [12] l'avaient déjà compris dans le cas général et explicitement mis en œuvre (dans un appendice) dans le cas $N = 2$.

Dans l'espace libre – La solution par ansatz de Bethe reste simple sur la droite réelle, c'est-à-dire dans un pur problème de diffusion des N bosons, car on connaît alors explicitement la valeur des quasi-vecteurs d'onde dans l'ansatz de Bethe [13]. Sous la condition que la fonction d'onde à N corps ne diverge pas à l'infini, on trouve que chaque état propre est composé d'une collection arbitraire de n -mères, indiscernables lorsqu'ils sont de même taille, le cas $n = 1$ correspondant simplement à une particule bosonique non liée, c'est-à-dire un atome. Chaque n -mère est caractérisé par une impulsion totale bien définie $\hbar K$, et diffuse élastiquement sur les autres n -mères, puisque toute réaction chimique d'association ou de dissociation, ou même simplement toute rétrodiffusion de deux n -mères de tailles différentes, est interdite par l'intégrabilité. Pour tout $n \geq 2$, il existe un et un seul état lié possible, d'énergie interne [5, 13]

$$E_0(n) = -\frac{mg^2}{24\hbar^2}n(n^2 - 1) \quad (1)$$

Dans un état de diffusion donné, il peut y avoir bien entendu plusieurs n -mères de même taille, le nombre total de fragments possible varie donc de un (toutes les particules sont liées dans le N -mère fondamental, comme dans un liquide) à N (toutes les particules sont sous forme atomique, gazeuse). En termes de la taille n_i du i -ème fragment et du vecteur d'onde K_i de son centre de masse, l'énergie de l'état de diffusion s'écrit simplement comme la somme des énergies internes et cinétiques :

$$E = \sum_i \left[E_0(n_i) + \frac{\hbar^2 K_i^2}{2n_i m} \right] \quad (2)$$

Dans la boîte – Nous étudions ici le système lorsqu'il est à l'équilibre thermique à une température T , ce qui nous oblige à l'enclouer dans une boîte de quantification de longueur L , avec les habituelles conditions aux limites périodiques². Les quasi-vecteurs d'onde de l'ansatz de Bethe sont alors solutions d'un système d'équations non linéaires couplées [14], ce qui en interdit l'expression analytique, et rend la détermination du spectre d'énergie discret dans la boîte problématique, même numériquement, pour de grandes valeurs de N . Toute l'idée du présent travail est donc

2. Même si l'on sait produire des boîtes de potentiel [15], il est utile de transposer notre étude au cas harmoniquement piégé, comme dans la référence pionnière [16].

de se restreindre à un cas limite traitable simplement, dans lequel la forme (2) obtenue dans l'espace libre reste approximativement valable dans la boîte, avec la seule condition de quantification naturelle :

$$K_i \in \frac{2\pi}{L} \mathbb{Z} \quad (3)$$

Une boîte plus grande que les n -mères – Une première condition pour aller dans le sens du spectre (2) est que la structure et l'énergie interne des états liés soient peu affectées par la boîte. Comme l'état dimère est le moins fortement lié et de plus grand diamètre spatial, ceci requiert

$$\frac{L}{\ell} = \pi \left(\frac{|\mu_0|}{E_F} \right)^{1/2} \gg 1 \quad (4)$$

où apparaissent le diamètre du dimère $\ell \equiv 2\hbar^2/(m|g|)$, le potentiel chimique $\mu_0 \equiv -mg^2N^2/(8\hbar^2)$ du N -mètre, et l'énergie de Fermi du gaz de fermions fictif unidimensionnel de même densité moyenne $\rho = N/L$ que celle des particules bosoniques, $E_F = \hbar^2(\pi\rho)^2/(2m)$. Comme la fonction d'onde des n -mères décroît exponentiellement avec la somme des distances entre les particules [5, 13], on s'attend à ce que l'erreur commise en négligeant l'effet de la boîte sur l'énergie interne $E_0(n)$ soit exponentiellement petite en L . Dans le cas $N = 2$, cette attente est confirmée par l'appendice A de la référence [12], dont les deux “états liés”, correspondant à notre état dimère avec une impulsion totale $\hbar K = 0$ et $\hbar K = 2\pi\hbar/L$ respectivement, ont une énergie donnée par (2) aux déviations relatives près $\simeq \pm 4 \exp(-L/\ell)$.

Dans le régime non dégénéré – La condition (4) oriente toute notre étude. En effet, comme $|\mu_0|$ est l'énergie de liaison d'une particule dans le N -mètre, on peut raisonnablement s'attendre à ce qu'une éventuelle transition liquide-gaz se produise à une température de l'ordre d'une fraction de $|\mu_0|/k_B \gg E_F/k_B$, c'est-à-dire dans un régime où la phase atomique gazeuse est fortement non dégénérée :

$$\rho\lambda = \left(\frac{4E_F}{\pi k_B T} \right)^{1/2} \ll 1 \quad (5)$$

où $\lambda = [2\pi\hbar^2/(mk_B T)]^{1/2}$ est l'habituelle longueur d'onde thermique de de Broglie. Cette phase atomique se trouve dès lors proche également de la limite d'un spectre continu, au sens où toute somme discrète sur les K_i de l'équation (3) peut être remplacée par une intégrale, puisque $L \gg N\lambda$ implique $L \gg \lambda$. En un mot, elle est assimilable à un gaz classique. Nous nous plaçons désormais dans ce cas de haute température, ce qui simplifie grandement le calcul de la fonction de partition externe $Z_{n\text{-mères}}^{\text{ext}}$, c'est-à-dire d'origine cinétique, des n -mères associée au spectre (2). Pour une configuration interne donnée des N particules, le sous-ensemble des n -mères à n fixé forme un gaz, supposé pour l'instant parfait, de N_n constituants indiscernables (bosoniques) de masse $nm \geq m$ donc de longueur de de Broglie $\lambda/n^{1/2} \leq \lambda$, et de densité $\leq \rho$, ce qui le rend au moins aussi proche de la limite classique que le gaz atomique (de $n = 1$) et conduit à [17]

$$Z_{n\text{-mères}}^{\text{ext}} \simeq \left(\frac{Ln^{1/2}}{\lambda} \right)^{N_n} \frac{1}{N_n!} \quad (6)$$

Des interactions entre n -mères négligeables – Une seconde condition pour l'utilisation du spectre d'énergie approximé par les Eqs. (2,3) est que les déplacements d'énergie dans la boîte dus aux *diffusions élastiques* donc aux interactions entre n -mères, soient négligeables devant l'énergie cinétique moyenne de chaque configuration interne³. Dans la phase purement atomique, l'estimation de l'énergie d'interaction est simplifiée par la remarque suivante : aux températures d'ordre $|\mu_0|/k_B$ considérées, l'énergie cinétique par atome $\approx k_B T/2$ est beaucoup plus grande que l'énergie de liaison du dimère $|E_0(2)|$ dès que $N \gg 1$, ou encore

$$\frac{\lambda}{\ell} = \frac{1}{N} \left(\frac{4\pi|\mu_0|}{k_B T} \right)^{1/2} \ll 1 \quad (7)$$

3. Ces diffusions élastiques sont bien prises en compte par la référence [13] dans l'espace libre, mais n'ont pas d'influence sur le spectre (2) puisque les différents n -mères y sont asymptotiquement libres.

si bien que le vecteur d'onde relatif typique de deux atomes $k_{\text{rel}} \approx 1/\lambda$ est bien plus *grand* que $m|g|/\hbar^2$, et que la diffusion à deux corps s'effectue dans le régime de Born, voir l'équation (99) dans la référence [13]⁴. L'énergie d'interaction par atome est alors simplement celle ρg de la théorie de champ moyen, compte tenu du facteur deux dû à l'effet de groupement bosonique, et peut être négligée si

$$\frac{\rho|g|}{k_B T} = \frac{4}{\pi} \frac{(E_F |\mu_0|)^{1/2}}{N k_B T} = \frac{1}{\pi} (\rho \lambda) \left(\frac{\lambda}{\ell} \right) \ll 1 \quad (8)$$

Cette condition semble être génériquement satisfaite, au même titre que (7), dans une limite de type thermodynamique, puisque N y est au dénominateur, ce que confirmera d'ailleurs la section 4. De plus, elle découle directement du produit des conditions (5,7), et peut donc être simplement omise à leur profit dans ce qui suit.

Pour estimer l'énergie d'interaction d'un atome avec un n -mère quasi-classique ($n \gg 1$), traitons le soliton brillant correspondant par la théorie de Bogolioubov, dans laquelle le processus de diffusion atome- n -mère au vecteur d'onde relatif k est décrit par les modes propres de quasi-particule $u_k(x)$ et $v_k(x)$. Si $u_k(x) \sim e^{ikx}$ pour $k > 0$ et $x \rightarrow -\infty$, l'expression exacte des fonctions modales [18, 19, 20] conduit à $u_k(x) \sim e^{i\theta(k)} e^{ikx}$ pour $x \rightarrow +\infty$, avec un déphasage $\theta(k) = -4 \arctan(k\ell/n)$. Les conditions aux limites périodiques imposent alors la condition de quantification $\exp(i k L) \exp[i\theta(k)] = 1$, d'où, pour notre grande boîte $L \gg \ell/n$, un espacement entre vecteurs d'onde successifs de $\delta k \simeq 2\pi/[L + \theta'(k)]$, où $\theta'(k)$ est la dérivée de $\theta(k)$, ce qui correspond à une longueur de quantification effective à l'énergie cinétique thermique

$$L_{\text{eff}} \approx L + \theta'(k = \sqrt{2\pi}/\lambda) \quad (9)$$

En reportant cette longueur effective dans la fonction de partition (6) écrite pour un atome, et en y réduisant $\theta'(k)$ à son expression asymptotique $\sim -4n/(k^2\ell)$ aux grands k compte tenu de $k_B T \approx |\mu_0|$, on trouve que le changement de longueur est très petit en valeur relative, et correspond à une énergie d'interaction de la paire atome- n -mère d'ordre $2n|g|/L$, c'est-à-dire d'ordre n fois l'énergie d'interaction d'une paire d'atomes⁵. On peut donc négliger l'interaction entre atomes et n -mères à la même condition que celle (8) obtenue pour les interactions entre atomes.

Le modèle – En conclusion, aux conditions de validité précédemment énoncées (4,5,7), notre système à haute température de N particules bosoniques en interaction attractive dans une boîte de quantification peut être supposé admettre comme configurations internes toutes les partitions possibles des N particules en atomes et états liés à deux corps, ..., à N corps, chaque sous-ensemble d'atomes ou d'états liés de même taille n étant assimilable à un gaz parfait classique de \mathcal{N}_n particules indiscernables de masse nm , et donc de fonction de partition (6). En termes mathématiques, la fonction de partition complète Z de notre modèle est la somme sur toutes les configurations internes à nombre total N de particules fixé, des fonctions de partition configurationnelles :

$$Z = \sum_{\text{conf}} Z_{\text{conf}}, \quad \text{où } \text{conf} \in \{(\mathcal{N}_n)_{1 \leq n \leq N} \in \mathbb{N}^N \text{ tels que } \sum_{n=1}^N n \mathcal{N}_n = N\}, \quad (10)$$

écrites, avec $\beta = 1/(k_B T)$, comme produits des fonctions de partition internes et externes,

$$Z_{\text{conf}} = \exp \left[-\beta \sum_{n=1}^N \mathcal{N}_n E_0(n) \right] \prod_{n=1}^N \left[\left(\frac{Ln^{1/2}}{\lambda} \right)^{\mathcal{N}_n} \frac{1}{\mathcal{N}_n!} \right] \quad (11)$$

3. Explorations numériques mésoscopiques et interprétation en termes de transition liquide-gaz

Nous avons effectué une étude numérique directe du modèle (10,11) par simple énumération de toutes les configurations internes possibles $(\mathcal{N}_n)_{1 \leq n \leq N}$. Les résultats obtenus sont donc aussi exacts que le modèle. Cependant, le nombre de configurations à explorer est égal au nombre $p(N)$ de partitions de l'entier N , qui croît exponentiellement avec N [21], ce qui limite les simulations sur ordinateur de bureau à $N \lesssim 150$. Pour un nombre total de $N = 100$

4. Au contraire du cas tridimensionnel, la diffusion d'une onde plane progressive sur un potentiel attractif à courte portée en dimension un tend vers sa réflexion totale à basse énergie, ce qui est hors du régime de Born.

5. On pourra consulter aussi la note 14.

particules et à géométrie fixée $L/\ell = 100$, bien dans la limite de grande boîte (4), nous montrons sur la figure 1a et 1b la dépendance en température de deux observables, l'énergie libre totale $F = -k_B T \ln Z$ et le taux de fragmentation moyen $\langle v \rangle$, moyenne sur la distribution thermique avec les poids Z_{conf} du nombre relatif de fragments de chaque configuration,

$$\nu = \frac{1}{N} \sum_{n=1}^N N_n \in \left[\frac{1}{N}, 1 \right] \quad (12)$$

On constate sur la figure 1a un changement de pente assez brutal de l'énergie libre, autour de $T \simeq 105T_F \simeq 0,1|\mu_0|/k_B$, bien dans le régime non dégénéré (5). Comme la dérivée $-\partial_T F$ donne l'entropie du système, ce changement de pente pourrait être le précurseur, dans notre système mésoscopique, d'une transition de phase du premier ordre, avec chaleur latente de changement d'état. Le passage assez brutal, autour de la même température, du taux moyen de fragmentation d'une valeur proche de un, à haute température, à une valeur proche de $1/N$, sur la figure 1b, suggère la transition d'une phase gazeuse surtout atomique, c'est-à-dire presque totalement dissociée, à une phase liquide composée essentiellement du N -mère fondamental. Cette analyse est confirmée par la forme de la distribution du nombre de particules par classe de taille des n -mères $(n\langle N_n \rangle / N)_{1 \leq n \leq N}$, qui présente à la transition deux maxima, l'un en $n = 1$ et l'autre en $n = N$, au sommet de pics étroits séparés par des nombres d'occupation infinitésimaux aux tailles intermédiaires, voir la figure 1c. Si l'on augmente (ou diminue) la température, on constate que le pic en $n = N$ (respectivement en $n = 1$) s'effondre rapidement, mais nous ne le montrons pas ici.

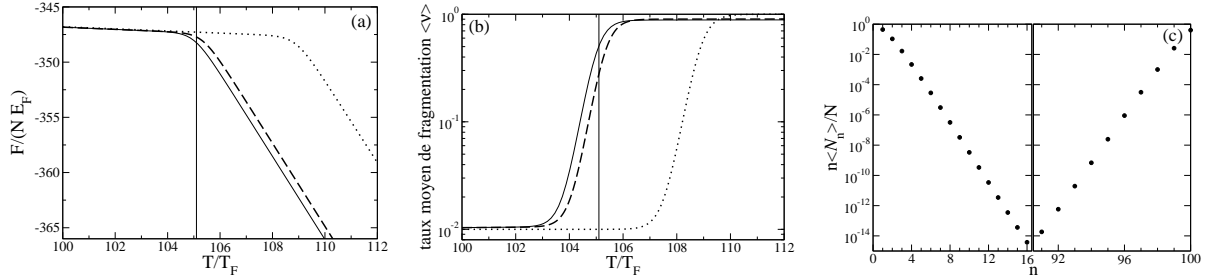


FIGURE 1: Pour $N = 100$ particules bosoniques de masse m à une dimension, en interaction attractive $-|g|\delta(x_i - x_j)$ dans une boîte de longueur $L = 100\ell$, où $\ell \equiv 2\hbar^2/(m|g|)$ est le diamètre du dimère, (a) énergie libre par particule F/N , en unités de l'énergie de Fermi $E_F = k_B T_F = \hbar^2(\pi\rho)^2/(2m)$, et (b) taux de fragmentation moyen $\langle v \rangle$, en fonction de la température en unités de la température de Fermi. En trait plein : le résultat numérique obtenu par énumération de toutes les configurations possibles. En pointillé : en se limitant aux deux configurations extrêmes, celle purement atomique et celle du N -mère. En tireté : en y ajoutant les mélanges gazeux en proportions arbitraires d'atomes et de dimères, ainsi que la phase liquide minimalement dissociée du $(N-1)$ -mère en présence d'un atome. En (c), la fraction moyenne de particules bosoniques dans chaque classe de taille des n -mères, $n \mapsto n\langle N_n \rangle / N$ (pour les n où elle est $> 10^{-15}$) obtenue par simulation numérique à la température $\approx 105, 1T_F$ telle que $\langle v \rangle$ croise $(1 + 1/N)/2$ [ligne verticale en (a) et (b)]. Noter l'échelle verticale logarithmique en (b) et (c).

Cherchons à donner un support plus quantitatif à notre scénario de transition liquide-gaz. En première approximation, retenons dans la fonction de partition Z seulement deux configurations internes, celle à N atomes, de contribution Z_{at} , et celle du N -mère pur, de contribution $Z_{N\text{-mère}}$. Les estimations correspondantes de l'énergie libre et du taux de fragmentation, $F^{(0)} = -k_B T \ln(Z_{\text{at}} + Z_{N\text{-mère}})$ et $\langle v \rangle^{(0)} = (N^{-1}Z_{N\text{-mère}} + Z_{\text{at}})/(Z_{\text{at}} + Z_{N\text{-mère}})$, sont représentées en pointillé sur la figure 1a et 1b. Le comportement général des résultats numériques est bien reproduit, à un décalage près vers les hautes températures d'environ 3,5%, comme nous l'avons vérifié explicitement. La température de transition $T_c^{(0)}$ prédite, obtenue en égalant les fonctions de partition Z_{at} et $Z_{N\text{-mère}}$, ce qui revient ici à choisir un taux de fragmentation moyen de $(1 + 1/N)/2$, est solution de

$$e^{-\beta_c^{(0)} E_0(N)} \frac{L \sqrt{N}}{\lambda_c^{(0)}} = \frac{1}{N!} \left(\frac{L}{\lambda_c^{(0)}} \right)^N \quad (13)$$

Pour les paramètres de la figure 1, ceci conduit à $T_c^{(0)} \simeq 108, 90T_F$, alors que le taux de fragmentation moyen dans la simulation numérique atteint la même valeur $(1 + 1/N)/2$ en $T \simeq 105, 1T_F$.

Notons qu'une forme approchée commode de l'équation (13) est obtenue en prenant le logarithme et en divisant l'équation résultante par N . On passe ensuite à la limite des grands N , sans préciser encore comment la limite

thermodynamique doit être prise sur L (ce sera l'objet de la section 4), mais en faisant l'hypothèse peu contraignante que $L/\lambda_c^{(0)}$ croît moins vite qu'une certaine puissance de N , si bien que $\ln(L/\lambda_c^{(0)}) = O(\ln N)$. En utilisant l'équivalent de Stirling pour $N!$, on obtient

$$\frac{1}{3}\beta_c^{(0)}|\mu_0| - \ln\left(\frac{e}{\rho\lambda_c^{(0)}}\right) = O\left(\frac{\ln N}{N}\right) \quad (14)$$

En négligeant les termes de limite nulle aux grands N , et en choisissant comme inconnue la quantité sans dimension $\beta_c^{(0)}|\mu_0|$, on obtient l'équation implicite

$$\frac{2}{3}\beta_c^{(0)}|\mu_0| + \ln\left(\frac{2}{3}\beta_c^{(0)}|\mu_0|\right) = \ln\left(\frac{\pi e^2 |\mu_0|}{6E_F}\right) \quad (15)$$

dont la solution est donnée par la fonction de Lambert W , fonction inverse de $x \mapsto xe^x$ pour $x \geq -1$, sous la forme⁶

$$\frac{2}{3}\beta_c^{(0)}|\mu_0| = W\left(\frac{\pi e^2 |\mu_0|}{6E_F}\right) \quad (16)$$

D'après la condition de validité (4) du modèle, l'argument de W doit être beaucoup plus grand que un dans l'équation (16). Pour les paramètres de la figure 1, cette approximation aux grands N de $T_c^{(0)}$ reproduit sa valeur exacte à 3% près seulement par défaut, bien qu'il n'y ait somme toute que $N = 100$ particules.

Pour aller plus loin que ce modèle à deux phases pures, et chercher à comprendre pourquoi sa prédiction (en pointillé sur la figure 1) présente ce faible décalage en température avec le résultat de la simulation, remarquons une autre de ses insuffisances : aux températures au-delà de la zone de transition, il revient à supposer que le système est sous forme purement atomique et prédit un taux de fragmentation égal à un, alors que le résultat numérique présente un écart persistant d'environ 10% à la fragmentation totale. Ce qui est cohérent avec la présence d'une population non négligeable de dimères à la transition, voir la classe $n = 2$ sur la figure 1c, et donne l'idée, en seconde approximation, d'adoindre à la phase purement atomique les mélanges en proportions arbitraires d'atomes et de dimères, pour aboutir à une phase *atomo-dimérique*⁷.

Par symétrie, bien que le besoin quantitatif s'en fasse moins sentir sur la figure 1a et 1b (le trait pointillé y dévie bien moins du trait continu à $T \leq 105T_F$ qu'à $T > 105T_F$), nous élargissons aussi la phase liquide concurrente, en ajoutant au N -mère la configuration *minimamente dissociée* à un ($N - 1$)-mère plus un atome, de fonction de partition $\approx e^{-\beta|\mu_0|} \frac{L}{\lambda} Z_{N\text{-mère}}$ pour $N \gg 1$. On voit apparaître le facteur exponentiel d'activation thermique attendu, qui traduit le fait que l'état N -mère est protégé de la dissociation par la bande d'énergie interdite de largeur $|\mu_0|$ le séparant (dans le référentiel du centre de masse) du continuum des états excités à N corps. Cependant, la phase minimamente dissociée bénéficie du facteur entropique cinétique $\propto L/\lambda$ fourni par le mouvement relatif du ($N - 1$)-mère et de l'atome libre. Dans le cas particulier de la figure 1, l'effet de bande interdite l'emporte largement sur l'effet entropique cinétique, $e^{-\beta|\mu_0|} \frac{L}{\lambda} \approx 0,06$ à la transition, mais ceci ne reste pas nécessairement vrai pour un grand système où L/λ peut diverger.

L'énergie libre et le taux de fragmentation moyen obtenus en gardant les deux phases élargies que nous venons de décrire, la phase atomo-dimérique et la phase avec un N -mère pur seulement à l'atome près, sont représentés en tireté sur la figure 1a et 1b. Le tireté est significativement plus proche des résultats numériques que le pointillé : la prise en compte des dimères, en abaissant l'énergie libre de la phase gazeuse, explique l'essentiel du décalage en température. La physique pour ce système de $N = 100$ particules semble donc quantitativement bien comprise.

Cependant, rien n'indique que l'élargissement de phase effectué ici suffise à la limite d'un grand système. En phase gazeuse, il reste à clarifier analytiquement le rôle des dimères, voire des trimères, quadrimères, etc ; en phase liquide, comme nous l'avons vu, l'inclusion de dissociations plus sévères du N -mère pourrait devenir nécessaire. On pourrait même imaginer qu'une phase de nature complètement différente émerge aux grands N . Tout ceci peut-il conduire à de grandes déviations de la température critique de l'estimation simple (13, 16), ou même à sa totale remise en question ? Ces questions, auxquelles nos simulations numériques mésoscopiques peuvent difficilement répondre, font l'objet de la section qui suit.

6. Au même ordre d'approximation, on prédit une chaleur latente de changement d'état par particule $Q^{(0)}/N = \frac{1}{3}|\mu_0| + \frac{1}{2}k_B T_c^{(0)}$, puisque l'on passe d'un N -mère d'entropie $k_B O(\ln N)$ à un gaz atomique classique d'entropie $Nk_B \ln[e^{3/2}/(\rho\lambda)] + k_B O(\ln N)$.

7. Sa fonction de partition vaut $Z_{\text{at-dim}} = Z_{\text{at}}S(z)$, où $z = \exp[-\beta E_0(2)]\lambda \sqrt{2}/L$ et la somme $S(z) = \sum_{s=0}^{\lfloor N/2 \rfloor} z^s N!/[s!(N-2s)!]$, portant sur le nombre s de dimères, est exprimable en termes d'une fonction hypergéométrique, $S(z) = {}_2F_0(-\frac{N}{2}, \frac{1}{2} - \frac{N}{2}; 4z)$.

4. Existence de la transition de phase et différentes limites à grand nombre de particules

Sur la foi des simulations numériques de la section précédente, limitées à une centaine de particules, notre système unidimensionnel de bosons en interaction attractive devrait admettre, dans une certaine limite macroscopique, une transition de phase du premier ordre entre une phase gazeuse et une phase liquide, dont la température critique a été estimée dans une approximation à deux phases pures, voir l'équation (13). L'objectif de cette section est d'abord d'apporter une justification analytique à l'existence d'une telle transition, avec une majoration de l'erreur commise sur T_c dans (13). Il est ensuite de construire différents types de limites thermodynamiques, de voir comment les effets de taille finie les affectent, et de déterminer dans quelle mesure les deux phases concurrentes sont, respectivement, surtout atomique et surtout liquide.

4.1. Existence de la transition et majoration de l'erreur sur T_c

D'utiles majorations de la fonction de partition Z_{conf} de l'équation (11) vont permettre d'établir simplement que les écarts à la monoatomicité de la phase gazeuse et à la pureté de la phase liquide ne remettent pas en question le scénario d'une transition de phase liquide-gaz, pourvu que cette transition se produise dans le régime non dégénéré, $\rho\lambda \ll 1$. Ceci exclut la possibilité qu'une troisième phase, passée inaperçue dans les simulations mésoscopiques, puisse émerger et l'emporter à la limite des grands N . Pour cela, nous définissons, dans l'espace des configurations, des voisinages des phases purement atomique et N -mérique, dont nous majorerons les corrections qu'ils apportent à l'énergie libre par particule, donc à T_c , par rapport à l'approximation à deux phases pures de la section précédente.
Au voisinage du gaz monoatomique – Prenons d'abord comme référence la phase purement atomique, de fonction de partition $Z_{\text{at}} = (L/\lambda)^N/N!$, en formant le rapport $Z_{\text{conf}}/Z_{\text{at}}$, et en éliminant le nombre d'atomes N_1 grâce à la conservation du nombre total de particules N , $N_1 = N - \sum_{n=2}^N nN_n$. Cette élimination est simplifiée par le fait attendu que $E_0(1) = 0$ dans l'équation (1). Le seul facteur non trivial restant provient de la factorielle d'indiscernabilité atomique, que nous nous contentons donc de majorer,

$$\frac{N!}{N_1!} = \left(\prod_{s=1+N_1}^N s \right) \leq N^{N-N_1} = N^{\sum_{n=2}^N nN_n} \quad (17)$$

pour obtenir

$$\frac{Z_{\text{conf}}}{Z_{\text{at}}} \leq \prod_{n=2}^N \frac{[\alpha_n(N)]^{N_n}}{N_n!} \quad \text{avec } \alpha_n(N) \equiv n^{1/2} e^{-\beta E_0(n)} N \left(\frac{N\lambda}{L} \right)^{n-1} \quad (18)$$

Intuitivement, cette inégalité est presque saturée, et les nombres entiers N_n , pour $n \geq 2$, obéissent presque à des lois de Poisson de paramètres $\alpha_n(N)$, si le nombre d'atomes dans la phase considérée dévie très peu de N en valeur relative, en particulier $|1 - \langle N_1 \rangle / N| \ll 1$, et si l'effet de troncature dû à la conservation du nombre total de particules est négligeable sur la distribution de N_n , en particulier $\alpha_n(N) \ll N/n$.

Une interprétation physique simple de la quantité $\alpha_n(N)$ est que la fonction de partition d'un gaz de $N - n$ atomes en présence d'un unique n -mère, avec $2 \leq n \ll N$, vaut approximativement $\alpha_n(N)Z_{\text{at}}$: α_n est la première correction (en valeur relative) à la fonction de partition du gaz atomique due aux n -mères. Dans l'expression de $\alpha_n(N)$, le facteur $N^n \gg 1$ correspond à une augmentation de l'entropie de comptage, induite par le remplacement de n atomes par un n -mère discernable de ceux-ci. Le facteur $(\lambda/L)^{n-1} \ll 1$ correspond à une perte d'entropie cinétique due au remplacement des degrés de liberté externes de n atomes par ceux du mouvement d'un n -mère. À N fixé, plus la taille n du n -mère est grande, plus $\alpha_n(N)$ est petit et moins son introduction dans le système est favorable, puisque $\rho\lambda \ll 1$, ce qui suggère déjà que les trimères doivent avoir un effet plus faible sur l'énergie libre de la phase gazeuse que celui des dimères, et ainsi de suite.

Introduisons ensuite la notion de voisinage d'ordre d'agrégation maximal n_{\max} de la phase atomique, qui contient toutes les configurations possibles composées de n -mères de tailles arbitraires n mais valant au plus n_{\max} , avec n_{\max} limité à $N/2$ afin d'éviter le recouvrement avec le voisinage du N -mère que nous allons définir dans la suite. Notre voisinage d'ordre maximal n_{\max} contient la phase purement atomique comme cas particulier, donc sa fonction de partition $Z_{\text{vois. at.}}^{(n \leq n_{\max})}$ est minorée par Z_{at} . Elle est majorée par application de (18) et extension de la sommation sur les $(N_n)_{2 \leq n \leq n_{\max}}$ à $\mathbb{N}^{n_{\max}-1}$:

$$Z_{\text{at}} \leq Z_{\text{vois. at.}}^{(n \leq n_{\max})} \equiv \sum_{\text{conf}/N_n=0 \vee n > n_{\max}} Z_{\text{conf}} \leq Z_{\text{at}} e^{\sum_{n=2}^{n_{\max}} \alpha_n(N)}, \quad (19)$$

encadrement que nous utiliserons pour borner le changement de température critique dû à la présence de dimères, trimères, etc, dans la phase gazeuse.

Au voisinage du N -mère – Prenons maintenant comme référence le N -mère pur, de fonction de partition $Z_{N\text{-mère}} = \exp[-\beta E_0(N)] N^{1/2} L / \lambda$. Pour $k < N - k$, c'est-à-dire $k < N/2$, définissons comme son *sous-voisinage de degré de dissociation k* l'ensemble des configurations à un $(N - k)$ -mère en présence d'une distribution quelconque des k particules restantes en atomes, dimères, ... ou au plus un k -mère. Sa fonction de partition sera notée $Z_{\text{ss-vois. } N\text{-mère}}^{(k)}$. Le cas particulier $k = 0$ correspond au N -mère pur.

Appliquons alors le raisonnement de la majoration précédente, au prix de légères modifications : comme on a nécessairement $N_{N-k} = 1$, et à part ce cas, $N_n = 0$ dès que $n > k$, le nombre d'atomes est maintenant plus commodément éliminé par la relation

$$N_1 = k - \sum_{n=2}^k n N_n \quad \text{si bien que} \quad \frac{k!}{N_1!} = \left(\prod_{s=1+N_1}^k s \right) \leq k^{k-N_1} = k^{\sum_{n=2}^k n N_n} \quad (20)$$

On a aussi $(N - k)^{1/2} \leq N^{1/2}$. Tout ceci nous conduit à une majoration de $Z_{\text{ss-vois. } N\text{-mère}}^{(k)}$ dans le même esprit que (18), si ce n'est que les premières corrections α_n dues aux n -mères à la phase atomique entourant le $(N - k)$ -mère s'exercent maintenant sur k particules seulement, et non plus N , d'où le remplacement, dans l'équation (18), de $\alpha_n(N)$ par $\alpha_n(k)$, de Z_{at} par $(L/\lambda)^k/k!$ et de la borne supérieure N par k :

$$\frac{Z_{\text{conf}}}{Z_{N\text{-mère}}} \leq e^{-\beta[E_0(N-k)-E_0(N)]} \frac{(L/\lambda)^k}{k!} \prod_{n=2}^k \frac{[\alpha_n(k)]^{N_n}}{N_n!} \quad (21)$$

Notons que le premier facteur, exponentiel, est ici un frein à la dissociation, suivant la loi d'activation thermique attendue, correspondant à l'énergie minimale à fournir $E_0(N - k) - E_0(N) > 0$ pour extraire k particules du N -mère, énergie proche de $k|\mu_0|$ pour $k \ll N$, alors que les puissances de $L/\lambda \gg 1$ sont une incitation à la dissociation, par gain d'entropie cinétique. Par ailleurs, comme dans la discussion qui suit l'équation (18), l'inégalité (21) devrait être saturée lorsque le produit de la dissociation est presque purement atomique, les n -mères de $n \geq 2$ s'y distribuant alors selon des lois de Poisson de paramètres $\alpha_n(k)$. Maintenant, surmajorons, en l'étendant à \mathbb{N}^{k-1} , la somme sur toutes les configurations $(N_n)_{2 \leq n \leq k}$ du sous-voisinage de degré k , puis définissons le *voisinage du N -mère de degré de dissociation maximal k_{\max}* , par réunion de tous les sous-voisinages de degré $k \leq k_{\max}$, de fonction de partition

$$Z_{\text{vois. } N\text{-mère}}^{(k \leq k_{\max})} \equiv \sum_{k=0}^{k_{\max}} Z_{\text{ss-vois. } N\text{-mère}}^{(k)} \quad (22)$$

Bien entendu, nous limitons cette définition à $k_{\max} < N/2$. Nous obtenons finalement l'encadrement

$$Z_{N\text{-mère}} \leq Z_{\text{vois. } N\text{-mère}}^{(k \leq k_{\max})} \equiv \sum_{\text{conf/}\exists n \geq N-k_{\max}/N_n \neq 0} Z_{\text{conf}} \leq Z_{N\text{-mère}} \sum_{k=0}^{k_{\max}} e^{-\beta[E_0(N-k)-E_0(N)]} \frac{(L/\lambda)^k}{k!} e^{\sum_{n=2}^k \alpha_n(k)}, \quad (23)$$

que nous utiliserons pour borner le changement de température critique dû à la dissociation partielle du N -mère.

Implications sur la transition de phase – Testons le scénario à deux phases pures de la section 3, en élargissant la première à la phase gazeuse contenant des n -mères de tailles arbitraires jusqu'à n_{\max} , et la seconde à la phase liquide contenant le N -mère partiellement dissocié en présence d'une phase arbitraire à au plus k_{\max} particules. La température critique $T_c^{(e)}$, où l'exposant signifie « élargie », s'obtient alors en égalant la fonction de partition $Z_{\text{vois. at.}}^{(n \leq n_{\max})}$ de la phase gazeuse élargie, voir l'équation (19), à celle $Z_{\text{vois. } N\text{-mère}}^{(k \leq k_{\max})}$ de la phase liquide généralisée, voir l'équation (23). L'équation implicite (14) devient

$$\frac{1}{3} \beta_c^{(e)} |\mu_0| - \ln \left(\frac{e}{\rho \lambda_c^{(e)}} \right) + O \left(\frac{\ln N}{N} \right) = \frac{1}{N} \left(\ln \frac{Z_{\text{vois. at.}}^{(n \leq n_{\max})}}{Z_{\text{at}}} - \ln \frac{Z_{\text{vois. } N\text{-mère}}^{(k \leq k_{\max})}}{Z_{N\text{-mère}}} \right) \quad (24)$$

Pour valider le scénario à deux phases pures, il faut donc montrer que le second membre de cette équation est petit devant l'un des deux premiers termes du premier membre. À cette fin, rendons les majorations plus explicites dans les

sommes sur n des $\alpha_n(N)$ et des $\alpha_n(k)$, en utilisant le fait que $-\beta E_0(n)/(n-1) = n(n+1)\beta|\mu_0|/(3N^2)$, et que $n(n+1)$ y est majorable par $n_{\max}(n_{\max}+1)$ ou $k_{\max}(k_{\max}+1)$:

$$\sum_{n=2}^{n_{\max}} \alpha_n(N) \leq N \sum_{n=2}^{n_{\max}} n^{1/2} X^{n-1} \leq N \frac{\sqrt{2}X}{(1-X)^2} \quad \text{avec} \quad X = \frac{N\lambda}{L} e^{\beta|\mu_0|(n_{\max}(n_{\max}+1)/(3N^2))} \quad (25)$$

$$\sum_{n=2}^k \alpha_n(k) \leq k \sum_{n=2}^{k_{\max}} n^{1/2} Y^{n-1} \leq k \frac{\sqrt{2}Y}{(1-Y)^2} \quad \text{avec} \quad Y = \frac{k_{\max}\lambda}{L} e^{\beta|\mu_0|(k_{\max}(k_{\max}+1)/(3N^2))} \quad (26)$$

Pour n_{\max} et k_{\max} assez petits, nous devrions avoir $X < 1$ et $Y < 1$ ce qui a permis de surmajorer en étendant les sommes jusqu'à l'infini⁸. Le report de (25) dans l'encadrement (19) donne directement :

$$0 \leq \frac{1}{N} \ln \frac{Z_{\text{vois. at.}}^{(n \leq n_{\max})}}{Z_{\text{at}}} \leq \frac{\sqrt{2}X}{(1-X)^2} \quad (27)$$

Pour obtenir une forme utilisable de la majoration (23), minorons $[E_0(N-k) - E_0(N)]/(k|\mu_0|)$, qui est une fonction décroissante de k , par sa valeur $\eta = 1 - (k_{\max}/N) + (k_{\max}^2 - 1)/(3N^2)$ en $k = k_{\max}$, puis utilisons le surmajorant dans (26), et finalement surmajorons en étendant la somme sur k obtenue en une série sur \mathbb{N} :

$$0 \leq \frac{1}{N} \ln \frac{Z_{\text{vois. } N\text{-mère}}^{(k \leq k_{\max})}}{Z_{N\text{-mère}}} \leq \frac{e^{-\beta|\mu_0|\eta}}{\rho\lambda} e^{\sqrt{2}Y/(1-Y)^2} \quad (28)$$

Pour confirmer l'existence d'une transition de phase liquide-gaz à une température proche de celle $T_c^{(0)}$ de l'équation (13), dans le cas $N \gg 1$, nous élargissons au maximum les deux voisinages en prenant (pour N impair) $n_{\max} = k_{\max} = (N-1)/2$. Ces deux voisinages maximaux, disjoints, incluent dans leur ensemble toutes les configurations internes possibles⁹. Définissons T_c comme le point d'égalité des fonctions de partition de ces voisinages maximaux, et bornons l'écart supposé petit de T_c à $T_c^{(0)}$, en linéarisant le premier membre de l'équation (24), et en évaluant le second membre en $T = T_c^{(0)}$, ce qui permet d'éliminer $\beta|\mu_0|$ au profit de $\rho\lambda$ dans les quantités X et Y pour obtenir $X = 2Y = e^{1/4}(\rho\lambda_c^{(0)})^{3/4}$. Nous trouvons que la borne supérieure apparaissant dans (27) est plus grande que celle dans (28). Comme $\sqrt{2}e^{1/4} < 2$, nous concluons qu'il existe un voisinage de $\rho\lambda_c^{(0)} = 0$, c'est-à-dire de $L/\ell = +\infty$ d'après (14,16), sur lequel

$$\frac{|T_c - T_c^{(0)}|}{T_c^{(0)}} < \frac{2(\rho\lambda_c^{(0)})^{3/4}}{\ln[e/(\rho\lambda_c^{(0)})]} \xrightarrow{\rho\lambda_c^{(0)} \rightarrow 0} 0 \quad (29)$$

et qui peut donc bien accueillir une transition liquide-gaz, dans des limites thermodynamiques qu'il nous reste à préciser. Avant cela, notons que le majorant dans (28), suffisant pour la présente discussion sur l'existence de la transition au voisinage de $T_c^{(0)}$ mais qui a le tort de diverger en $1/(\rho\lambda)$ à très haute température, doit être amélioré si l'on veut exclure la présence d'une transition à des températures arbitrairement plus élevées que $T_c^{(0)}$, comme il est fait dans l'Annexe A.

4.2. Une limite rendant le modèle exact

Comme le montre sa légende, la figure 1 dépend seulement de deux paramètres sans dimension, le nombre de particules N et la longueur de la boîte L/ℓ adimensionnée par le diamètre du dimère. Pour passer à la limite thermodynamique, le plus naturel est de faire tendre comme d'habitude N vers l'infini à force des interactions et densité moyenne fixées, ce qui correspond donc à

$$N \rightarrow +\infty \text{ à } \rho\ell = \text{constante} \quad (30)$$

et rend la première condition de validité (4) du modèle exactement satisfaite.

8. On a utilisé $\sum_{n=2}^{+\infty} (n/2)^{1/2} u^{n-1} \leq \sum_{n=2}^{+\infty} (n/2) u^{n-1} = u(1-u/2)/(1-u)^2 \leq u/(1-u)^2, \forall u \in [0, 1[$.

9. En effet, soit la configuration ne comporte aucun n -mère de taille supérieure à $N/2$, auquel cas elle est dans le voisinage maximal du gaz monoatomique ; soit il existe un tel n -mère, qui est alors seul dans cette catégorie, et la configuration est dans le voisinage maximal du N -mère.

Déterminons d'abord la température critique $T_c^{(0)}$ dans l'approximation minimale à deux phases pures de la section 3. La limite (30), d'après (4), implique que $(|\mu_0|/E_F)^{1/2} = N/(\pi\rho\ell) \rightarrow +\infty$, point peut-être troublant pour le lecteur et sur lequel nous reviendrons en section 4.3. Par itération de l'équation implicite (15), compte tenu du fait que $\beta_c^{(0)}|\mu_0|$ est bien plus grand que son logarithme, nous obtenons le comportement asymptotique

$$\frac{1}{3}\beta_c^{(0)}|\mu_0| \underset{N \rightarrow +\infty}{=} \ln N - \frac{1}{2}\ln\ln N + \ln \frac{e}{\rho\ell\sqrt{12\pi}} + O\left(\frac{\ln\ln N}{\ln N}\right) \quad (31)$$

Lorsque N diverge, la température critique $T_c^{(0)}$ devient donc, très lentement, arbitrairement plus faible que le potentiel chimique du N -mère. De plus, les deux dernières conditions de validité (5, 7) du modèle deviennent, à cette température, arbitrairement bien satisfaites :

$$\frac{\rho\lambda_c^{(0)}}{\rho\ell} = \frac{\lambda_c^{(0)}}{\ell} \underset{N \rightarrow +\infty}{\sim} \frac{(12\pi\ln N)^{1/2}}{N} \rightarrow 0 \quad (32)$$

En d'autres termes, le modèle simple (10,11) est asymptotiquement exact. Enfin, comme $\rho\lambda_c^{(0)} \rightarrow 0$ essentiellement comme une loi de puissance en N , l'équation (29) nous donne le résultat important que l'approximation à deux phases pures est, elle aussi, asymptotiquement exacte pour le calcul de T_c :

$$(k_B T_c - k_B T_c^{(0)})/|\mu_0| = O(1/N^{3/4}) \underset{N \rightarrow +\infty}{\rightarrow} 0 \quad (33)$$

Il ne faut pas en déduire que les dimères apportent une contribution négligeable à la fonction de partition de la phase gazeuse, ou que leur nombre moyen y tend vers zéro. Par étude de la fonction de partition atomo-dimérique, voir en section 3, ou plus simplement en réalisant que la phase gazeuse est ici dans le régime quasi-poissonnien défini après l'équation (18), nous trouvons au contraire que $Z_{\text{at-dim}}/Z_{\text{at}}$ diverge comme $\exp[\alpha_2(N)]$, et que le nombre moyen de dimères diverge comme $\alpha_2(N)$, où $\alpha_2(N)$, défini par (18), diverge en $(\ln N)^{1/2}$ à la transition. Mais ceci est $o(N)$ donc trop lent pour contribuer asymptotiquement à l'énergie libre par particule, ou au taux moyen de fragmentation. Encore mieux, l'ajout de trimères apporte, d'après (18), une contribution à la fonction de partition négligeable par rapport à Z_{at} , car majorée par $\exp[\alpha_2(N)]\{\exp[\alpha_3(N)] - 1\} \rightarrow 0$, et le nombre moyen de trimères tend vers zéro comme $\alpha_3(N)$, à la transition. De même, la phase liquide y est asymptotiquement pure, car la probabilité d'y trouver un atome non lié, voir en section 3, tend vers zéro comme $\exp(-\beta_c^{(0)}|\mu_0|)L/\lambda_c$, donc en $\ln N/N$. Tout ceci permet de déterminer la loi d'échelle avec laquelle la limite thermodynamique est atteinte, par simple utilisation de l'approximation à deux phases pures. Par exemple, pour le taux de fragmentation moyen, on obtient la loi universelle¹⁰ :

$$\langle v \rangle \underset{N \rightarrow +\infty}{\rightarrow} \frac{\exp \delta}{1 + \exp \delta} \quad \text{à} \quad \delta \equiv \frac{T - T_c}{T_c} N \left(\frac{1}{2} + \frac{1}{3}\beta_c^{(0)}|\mu_0| \right) \text{ fixé,} \quad (34)$$

c'est-à-dire que la largeur relative en température de la transition se rétrécit en $1/(N\ln N)$.

4.3. Une limite thermodynamique plus habituelle

La limite des grands N de la section 4.2 est inadaptée à une réalisation expérimentale, à force des interactions fixée, puisque $|\mu_0|$ y diverge en N^2 , ce qui rend la condition d'unidimensionalité du système ($|\mu_0|$ petit devant le quantum d'énergie vibrationnelle transverse $\hbar\omega_\perp$) asymptotiquement irréalisable à la transition¹¹. D'où l'idée de fixer Ng à une valeur constante dans l'expérience, en ajustant g grâce à une résonance de Feshbach. La limite (30) correspond alors à $N^2/L = \text{constante}$, ce qui est inhabituel. Considérons donc ici plutôt la limite

$$N \rightarrow +\infty \quad \text{à} \quad \frac{L}{\ell} = \text{constante} \quad (35)$$

10. Il suffit de poser $T = T_c^{(0)}/(1 - \epsilon)$, si bien que $Z_{\text{at}}/Z_{N\text{-mère}} = \exp[-\ln(1 - \epsilon)(N - 1)/2] \exp[-\epsilon\beta_c^{(0)}E_0(N)]$, avec $(N - 1)\ln(1 - \epsilon) \simeq -N\epsilon$ et $\beta_c^{(0)}E_0(N) \simeq -\beta_c^{(0)}|\mu_0|N/3$. Si l'on utilise (31) et un calcul numérique opto-dimérique (cf. le tiret sur la figure 1), on trouve pour $\rho\ell = 1$ que (34) est déjà presque atteinte à $N = 1000$.

11. Cette condition d'unidimensionalité justifie aussi l'utilisation d'une interaction en δ de Dirac, du moins dans le cas habituel pour les atomes froids où la véritable interaction tridimensionnelle V_{3D} est de portée négligeable par rapport à la distance moyenne entre particules [3]. En effet, V_{3D} induit, en présence du confinement harmonique transverse, une interaction effective à une dimension de portée effective non nulle $r_e \approx [\hbar/(m\omega_\perp)]^{1/2}$ [22] mais négligeable dans le régime de Born sous la condition suffisante $k_{\text{rel}}|r_e| \ll 1$, où le vecteur d'onde relatif typique est ici $k_{\text{rel}} = O(N/\ell)$.

qui conduit bien à une densité ρ constante si Ng est fixé, et à un rapport $|\mu_0|/E_F$ constant comme il se doit pour une honnête limite thermodynamique. Alors $\beta_c^{(0)}|\mu_0|$ admet une limite finie, donnée par (16), et $\rho\lambda_c^{(0)}/e = \exp(-\beta_c^{(0)}|\mu_0|/3)$. Mais $T_c^{(0)}$ ne coïncide plus avec T_c , elle en constitue seulement une bonne approximation dans un régime suffisamment non dégénéré, comme le garantit le résultat mathématique (29)¹². Il en va de même pour la relation universelle (34), qui prédit maintenant une largeur de la transition en $1/N$. Les deux premières conditions de validité (4,5) du modèle ne sont d'ailleurs plus qu'approximativement vérifiées, seule la troisième condition (7) est exactement remplie lorsque $N \rightarrow +\infty$ à la transition.

Même si le résultat mathématique (29) doit, pour être rigoureux, considérer les voisinages maximaux des deux phases pures, avec $n_{\max} \sim k_{\max} \sim N/2$, il est physiquement attendu que les premières corrections à $T_c^{(0)}$ proviennent en fait de voisinages plus immédiats $n_{\max} \ll N/2$ et $k_{\max} \ll N/2$. Comme le proche voisinage du gaz purement atomique est quasi-poissonnier à la transition, tel qu'il est décrit après l'équation (18), nous trouvons que sa contribution dominante au second membre de (24) est celle $\alpha_2(N)/N \rightarrow \sqrt{2}\rho\lambda$ des dimères¹³, celle des trimères $\alpha_3(N)/N$ étant $O(\rho\lambda)^2$, etc. Nous voyons cependant apparaître une *insuffisance* de notre modèle : la phase purement atomique, bien que non dégénérée, reste en réalité un gaz bosonique, dont la fonction de partition $Z_{\text{at}}^{\text{Bose}}$ dévie déjà de celle du gaz classique $Z_{\text{at}} = (L/\lambda)^N/N!$ au premier ordre en $\rho\lambda$ [17], $N^{-1} \ln(Z_{\text{at}}^{\text{Bose}}/Z_{\text{at}}) = 2^{-3/2}\rho\lambda + O(\rho\lambda)^2$, ce qui apporte une correction à la température critique du même ordre en $\rho\lambda$ que celle des dimères, mais ignorée par le modèle.

Pour estimer la contribution du proche voisinage du N -mère, nous pouvons supposer, instruits par ce qui précède, qu'à l'ordre dominant en $\rho\lambda$, celui-ci se dissocie faiblement en un gaz purement atomique à k particules, bien dans le régime poissonnier. Ce qui revient à dire que la seconde inégalité dans (23) est presque saturée, que les $\alpha_n(k)$ y sont négligeables, et que le N -mère se dissocie en un $(N-k)$ -mère plus k particules avec un poids essentiellement poissonnier, compte tenu du fait que $k_{\max} \ll N/2$:

$$Z_{\text{ss-vois. } N\text{-mère}}^{(k)}/Z_{N\text{-mère}} \simeq \frac{\gamma^k}{k!} \quad \text{où} \quad \gamma = N \frac{e^{-\beta|\mu_0|}}{\rho\lambda} \quad (36)$$

À la transition, le taux de dissociation moyen de la phase liquide est alors $\gamma/N \simeq (\rho\lambda_c^{(0)})^2/e^3$, et la contribution qu'apporte cette dissociation au second membre de (24) est négligeable devant celle des dimères de la phase gazeuse. **Au-delà du modèle** – Afin de déterminer la vraie correction à $T_c^{(0)}$ au premier ordre en $\rho\lambda$, appliquons à la phase gazeuse¹⁴ une approche systématique à haute température, celle du développement du viriel quantique, $N^{-1} \ln(Z_{\text{gaz}}^{\text{Bose}}/Z_{\text{at}}) = b_2\rho\lambda + O(\rho\lambda)^2$, qui inclut à cet ordre la statistique quantique, les interactions entre atomes et la présence de dimères [23]. Avec la méthode de la §2.3 de la référence [24]¹⁵ nous trouvons pour des interactions attractives $b_2/\sqrt{2} = (e^u/2)[1 + \text{erf}(u^{1/2})] - 1/4$, où $u \equiv \beta|E_0(2)|$; dans la limite (35), $u \rightarrow 0$ donc $b_2 \rightarrow 2^{-3/2}$, ce qui se réduit à l'effet de la statistique quantique, au contraire des prédictions du modèle, et rend le décalage en température attribué aux dimères sur la figure 1 non significatif¹⁶ ! Notre interprétation en est que les états à deux atomes non liés sont nécessairement orthogonaux à l'état du dimère, fait non pris en compte dans le modèle ; si la constante de couplage g passait de 0^+ à 0^- , l'état dimère apparaîtrait mais un état non lié à deux atomes disparaîtrait, tout ceci à l'échelle d'énergie

12. Les formes plus précises (27,28) garantissent l'existence d'une solution T_c à l'équation $Z_{\text{vois. } N\text{-mère}}^{(k \leq N/2)}(T) = Z_{\text{vois. } N\text{-mère}}^{(n \leq N/2)}(T)$ dès que $L/\ell > 105, 1$.

13. Pour aller au-delà de l'approximation poissonniene, nous avons appliqué la méthode de Laplace à la somme $S(z)$ de la note 7, après utilisation de la formule de Stirling et remplacement de la somme sur s par une intégrale sur $x = 2s/N$. Alors $Z_{\text{at-dim}}/Z_{\text{at}} \sim \exp[Nu(x_0)]/(1+x_0)^{1/2}$ lorsque $N \rightarrow +\infty$, avec $u(x) = (x/2) \ln[2\sqrt{2}\rho\lambda/(ex)] - (1-x) \ln(1-x)$ et x_0 est la racine de $u'(x)$ sur $[0, 1]$. On a toujours $u(x_0) < \sqrt{2}\rho\lambda$, en accord avec la majoration (19) appliquée à $n_{\max} = 2$, et $u(x_0) \sim \alpha_2(N)/N$ si $\rho\lambda \rightarrow 0$.

14. En phase liquide, on peut appliquer la théorie de Bogolioubov au soliton brillant, si les quasi-particules de Bogolioubov, de spectre $\epsilon_k = |\mu_0| + \hbar^2 k^2/(2m)$, sont en nombre $\delta N = \sum_k [\exp(\beta\epsilon_k) - 1]^{-1} \ll N$, ce qui impose $k_B T \ll |\mu_0|$ si $\rho\lambda \ll 1$, et donc $\delta N/N \simeq e^{-\beta|\mu_0|}/(\rho\lambda) \ll 1$: dans la limite (35) à Ng fixé, la fonction de partition correspondante vérifie $N^{-1} \ln Z_{\text{Bog}} = \frac{1}{3}\beta|\mu_0| + (\rho\lambda)^{-1} \sum_{s \geq 1} \exp(-\beta|\mu_0|s)/\sqrt{s}$, le terme dominant $s = 1$ à $k_B T \ll |\mu_0|$ est donc bien prédict par (36) ; la contribution à $N^{-1} \ln Z_{\text{Bog}}$ du déphasage $\theta(k) = -4 \arctan(k\ell/N)$ dû au soliton [voir avant (9)] tend bien vers zéro aux grands N , comme $-(4\ell/L) \exp(-\beta|\mu_0|)[1 + O(k_B T/|\mu_0|)]/(N\rho\lambda)$.

15. Comme dans [25, 26] on utilise un régulateur harmonique de pulsation ω , si bien que $b_2/\sqrt{2} = 1/4 + \lim_{\omega \rightarrow 0} \sum_{q \geq 0} (e^{-\beta\epsilon_q} - e^{-\beta\epsilon_q^{(0)}})$ où $(\epsilon_q)_{q \in \mathbb{N}}$ est le spectre de $H = p^2/m + m\omega^2 x^2/4 + g\delta(x)$ limité aux états pairs (bosoniques), solution de $\Gamma(\frac{1}{4} - \frac{\epsilon_q}{2\hbar\omega})/\Gamma(\frac{3}{4} - \frac{\epsilon_q}{2\hbar\omega}) = -2(2\hbar\omega/m)^{1/2}\hbar/g$ [27] et $\epsilon_q^{(0)} = (2q + 1/2)\hbar\omega$ est le spectre correspondant pour $g = 0$. Si $\omega \rightarrow 0$ à $g < 0$ fixé, $\epsilon_0 \rightarrow E_0(2)$ et $\epsilon_{q \geq 1} = \hbar\omega[2q - 1/2 + 2\Delta(\epsilon_q) + O(1/q)] \geq 0$, avec $\Delta(\epsilon) \equiv (1/\pi) \arctan\{[-\epsilon/E_0(2)]^{1/2}\}$. Si $g > 0$, $\epsilon_{q \geq 0} = \hbar\omega[2q + 3/2 - 2\Delta(\epsilon_q) + O(1/q)] \geq 0$ avec la même fonction $\Delta(\epsilon)$. Il reste à remplacer la somme sur q par une intégrale sur ϵ_q , pour obtenir b_2 donné dans le texte à $g < 0$, et $b_2/\sqrt{2} = \frac{\epsilon_0}{2}[1 - \text{erf}(u^{1/2})] - \frac{1}{4}$ (en accord avec [28]) à $g > 0$.

16. En revanche, la fraction de dimères dans la phase gazeuse prédite par le modèle est en accord avec celle $\sqrt{2}\rho\lambda \exp[-\beta E_0(2)]$ déduite de b_2 .

$|E_0(2)| \ll k_B T$, ce qui conduirait à une compensation dans b_2 : le second cumulant b_2 varie bien continûment autour de $g = 0$. Dans notre modèle corrigé, nous obtenons finalement, pour la température critique de la transition liquide-gaz dans la limite (35), l'équation implicite :

$$\frac{1}{3} \beta_c |\mu_0| \underset{\text{corrigé}}{\overset{\text{modèle}}{=}} \ln \left(\frac{e}{\rho \lambda_c} \right) + 2^{-3/2} \rho \lambda_c + O(\rho \lambda_c)^2 \quad (37)$$

5. Conclusion

Nous avons limité ici notre étude du système unidimensionnel de bosons en interaction attractive $g < 0$ au cas particulier d'une grande boîte, de longueur L bien supérieure au diamètre ℓ de l'état dimère. Ceci signifie que, dans une distribution uniforme des N bosons à la densité $\rho = N/L$ dans la boîte, l'espacement moyen $1/\rho$ entre particules est bien plus grand que le N -mère fondamental, de diamètre $\xi \simeq \hbar^2/(Nm|g|)$ et de profil de densité en $[N/(4\xi)]/\text{ch}^2[x/(2\xi)]$ aux grands N . En un mot, nous sommes dans le régime $\rho\xi = \ell/(2L) \ll 1$.

Dans ces conditions particulières, et à l'équilibre thermique, nous avons montré qu'une transition de phase liquide-gaz se produit à la limite thermodynamique, à une température T_c donnée à divers ordres d'approximation par (16,37), mais tellement élevée que le système se trouve dans le régime non dégénéré $\rho\lambda_c \ll 1$, λ_c étant la longueur d'onde thermique de de Broglie correspondante. Sur une plage de température de largeur $O(1/N)T_c$, le système passe en effet d'une phase gazeuse uniforme de densité ρ , essentiellement monoatomique [la fraction de n -mères y est $O(\rho\lambda_c)^n$], à une phase liquide réunie en une goutte inhomogène de diamètre ξ , entourée d'une très faible fraction gazeuse $O(\rho\lambda_c)^2$ essentiellement monoatomique et uniforme.

D'un point de vue théorique, notre résultat semble contredire un argument général dû à Landau, suivant lequel il ne peut y avoir coexistence de deux phases différentes dans les systèmes unidimensionnels avec des interactions à courte portée, ces phases ayant tendance à se morceler indéfiniment jusqu'à former une émulsion [23]. Cependant, les n -mères ne constituent pas ici un liquide ordinaire extensif à densité plafonnée : leur énergie $E_0(n)$ n'est pas une fonction linéaire du nombre de particules n aux grands n , mais cubique, si bien que le morcellement du liquide en fragments mésoscopiques ou macroscopiques a un coût énergétique considérable (par exemple $(3/4)|E_0(N)|$ si l'on coupe le N -mère en deux parties égales), au lieu d'être simplement proportionnel au nombre de fragments avec un coefficient de proportionalité intensif, comme il est supposé dans la §163 de la référence [23].

À ce stade, on pourrait nous faire l'objection de principe suivante : le défaut d'extensivité de notre phase liquide, qui résulte du modèle d'interaction en δ de Dirac, ne peut se maintenir à la limite $N \rightarrow +\infty$, dans laquelle la densité du liquide semble diverger et la portée non nulle de tout potentiel d'interaction réaliste, ne serait-ce que sous la forme d'un cœur dur, devrait donc se manifester. Cependant, à la limite thermodynamique, seul compte le paramètre sans dimension L/ℓ , voir l'équation (35), et non pas la longueur ℓ elle-même. À l'objection de principe, nous opposons donc une stratégie d'*ajustement* de la force des interactions en fonction du nombre de particules N , par résonance de Feshbach dans le cas des atomes froids, de façon que la densité $N/(4\xi)$ au centre de la phase liquide reste *constante*. Il faut pour cela que N^2/ℓ reste constant, donc que la constante de couplage g tends vers zéro comme $1/N^2$. D'après (35), on a alors que la longueur de la boîte L diverge en N^2 , et que le potentiel chimique μ_0 de la phase liquide fondamentale, l'énergie de Fermi E_F de la phase gazeuse et la température de transition T_c s'annulent tous en $1/N^2$. Mais, à la transition, le paramètre de dégénérescence quantique $\rho\lambda_c$ reste constant, ainsi que l'entropie par particule de la phase gazeuse, ce qui montre que ces basses températures en $1/N^2$ restent en principe accessibles par refroidissement adiabatique.

Par ailleurs, cette absence d'extensivité de la phase liquide pourrait avoir une conséquence importante sur la métastabilité de la phase gazeuse en dessous de la température de transition. De façon générale, on sait qu'un gaz macroscopique lentement refroidi présente en principe un retard considérable à la liquéfaction, à cause de la barrière d'énergie libre extensive entre les deux phases, mais qu'il l'évite en pratique par la nucléation locale de gouttelettes. Ici, ce mécanisme local pourrait être inhibé par la forte non linéarité en n de $E_0(n)$. Isolons en effet par la pensée une petite partie de la phase gazeuse à N' particules, avec $1,\rho\ell \ll N' \ll N$, ce que permettent son homogénéité et l'absence d'interaction à longue portée. Comme la température de liquéfaction T_c de l'équation (14) est, à des corrections logarithmiques près, proportionnelle à l'énergie de liaison d'une particule dans le liquide qui se forme, la petite partie ne devrait se liquéfier qu'à une température $T'_c \propto N'^2$ bien inférieure à celle $\propto N^2$ du gaz complet.

S'il se trouve que cette métastabilité constitue un sérieux obstacle expérimental, une échappatoire pourrait être de mesurer les énergies libres des deux phases de part et d'autre de la température critique, par chauffage graduel de la phase liquide déjà observée à basse température [3, 4] et par refroidissement progressif de la phase gazeuse facile à préparer à haute température, puis de constater qu'elles se croisent à T_c . L'énergie libre $F(T)$ peut en effet être déduite de l'énergie moyenne $E(T)$ par intégration de la relation $E = \partial_\beta(\beta F)$, où $\beta = 1/(k_B T)$. Or, l'énergie moyenne, comme le montre la référence [29], est une fonctionnelle connue de la distribution en impulsion $n(k)$ des particules, elle-même mesurable par temps de vol après coupure brutale des interactions grâce à une résonance de Feshbach.

Tout ceci laisse donc raisonnablement augurer d'une mise à l'épreuve expérimentale prochaine de notre scénario, et peut-être de l'observation d'une transition liquide-gaz dans un système d'atomes froids, ce qui constituerait une grande première.

Remerciements

L'équipe d'Y.C. est aussi affiliée à l'IFRAF. L'un d'entre nous (C.H.) a bénéficié d'une bourse Fulbright pour son séjour à Paris en 1997-1998, au cours duquel il a accompli ce travail dans ses grandes lignes, ainsi que des contrats numéros 1316617 et 0844827 de la « National Science Foundation » ; il remercie également la fondation Sloan. M.O. a reçu des financements de l'« Office of Naval Research »(N0004-121-0400) et de la « National Science Foundation »(PHY-1019197). Nous remercions Christoph Weiss pour son incitation à mener à terme ce projet.

Annexe A. Une meilleure majoration pour le voisinage du N -mère à très haute température

Dans le corps de l'article, voir l'équation (28), on dispose de la majoration suivante de la fonction de partition du voisinage du N -mère de degré de dissociation maximal $k_{\max} < N/2$:

$$\frac{1}{N} \ln Z_{\text{vois. } N\text{-mère}}^{(k \leq k_{\max})} \leq \frac{1}{N} \ln Z_{N\text{-mère}} + \theta \quad \text{avec} \quad \theta = \frac{e^{-\beta|\mu_0|\eta}}{\rho\lambda} e^{\sqrt{2}Y/(1-Y)^2} \quad (\text{A.1})$$

Cette majoration, opérationnelle au voisinage de la température critique, ne l'est plus dans la limite de très haute température, en particulier à $T \gg T_c^{(0)}$. En effet, lorsque $\rho\lambda \rightarrow 0$, $\beta|\mu_0|$ tend vers zéro, ainsi que Y , en vertu de l'égalité

$$\beta|\mu_0| = \frac{1}{4\pi}(\rho\lambda)^2(L/\ell)^2 \quad (\text{A.2})$$

Alors $N^{-1} \ln Z_{N\text{-mère}}$ tend vers zéro en $(\rho\lambda)^2$, mais θ diverge en $1/(\rho\lambda)$, plus vite que $N^{-1} \ln Z_{\text{at}}$, qui croît seulement logarithmiquement, en $\ln[e/(\rho\lambda)]$. La majoration (A.1) ne suffit donc pas mathématiquement à exclure l'existence d'une transition autre que celle identifiée dans cet article, à plus haute température.

L'existence d'une telle transition concurrente est heureusement écartée par une simple amélioration du majorant dans (A.1). Il suffit de s'arrêter avant la dernière étape ayant conduit à (28), c'est-à-dire de garder la somme finie sur k :

$$\frac{1}{N} \ln \frac{Z_{\text{vois. } N\text{-mère}}^{(k \leq k_{\max})}}{Z_{N\text{-mère}}} \leq \frac{1}{N} \ln \sum_{k=0}^{k_{\max}} \frac{(N\theta)^k}{k!} = \frac{1}{N} \ln \left[\frac{e^{N\theta}}{k_{\max}!} \Gamma(1 + k_{\max}, N\theta) \right] \quad (\text{A.3})$$

où Γ est la fonction Gamma incomplète. La représentation intégrale de cette fonction conduit à la discussion suivante, pour $N \rightarrow +\infty$ à θ et k_{\max}/N fixés, ce qui correspond à la limite thermodynamique habituelle de la section 4.3. Si $N\theta/k_{\max} < 1$, un équivalent du majorant dans (A.3) est bien obtenu en y étendant la somme sur k à \mathbb{N} tout entier, et l'on retrouve (28). Si $N\theta/k_{\max} > 1$, un équivalent est cette fois fourni par la majoration :

$$\sum_{k=0}^{k_{\max}} \frac{(N\theta)^k}{k!} = \frac{(N\theta)^{k_{\max}}}{k_{\max}!} \sum_{k'=0}^{k_{\max}} \frac{1}{(N\theta)^{k'}} \frac{k_{\max}!}{(k_{\max} - k')!} \leq \frac{(N\theta)^{k_{\max}}}{k_{\max}!} \sum_{k'=0}^{+\infty} \left(\frac{k_{\max}}{N\theta} \right)^{k'} \quad (\text{A.4})$$

où l'on a posé $k' = k_{\max} - k$, on a utilisé une majoration du type (17) et on a étendu la sommation sur k' à \mathbb{N} . Le logarithme de la série géométrique obtenue, borné, ne contribue pas à la limite thermodynamique. En d'autres termes,

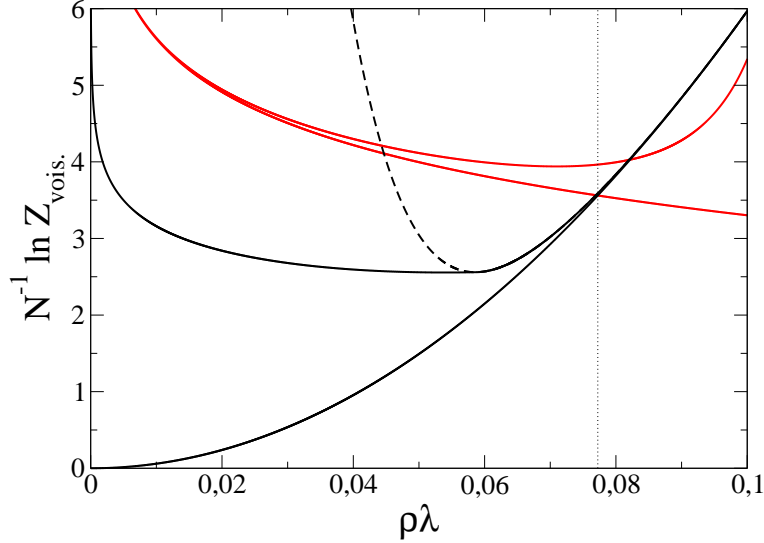


FIGURE A.2: Encadrements des fonctions de partition $Z_{\text{vois.}at}^{(n \leq N/2)}$ et $Z_{\text{vois.}N-\text{mère}}^{(k \leq N/2)}$, plus précisément de leur logarithme par particule $N^{-1} \ln Z_{\text{vois.}}$, en fonction de $\rho\lambda$ pour $L/\ell = 150$ à la limite thermodynamique $N \rightarrow +\infty$. Pour la phase gazeuse, l'encadrement correspond aux minorant et majorant dans (27) (traits pleins rouges). Pour la phase liquide, il correspond aux minorant et majorant dans (A.5) (traits pleins noirs), ou au majorant dans (28) (tireté noir). La valeur de $\rho\lambda$ à la température $T_c^{(0)}$, estimation d'ordre zéro de la température de transition, est repérée par le pointillé vertical, à l'intersection des traits pleins inférieurs rouge et noir. La majoration améliorée (A.5), au contraire de celle de (28), exclut l'existence d'une transition de phase à une température arbitrairement supérieure à $T_c^{(0)}$.

selon que $N\theta/k_{\max}$ est inférieur ou supérieur à un, la somme sur k dans (A.3) est dominée par ses derniers ou par ses premiers termes, aux grands N . Nous retenons finalement :

$$0 \leq \frac{1}{N} \ln \frac{Z_{\text{vois.}N-\text{mère}}^{(k \leq k_{\max})}}{Z_{N-\text{mère}}} \leq \begin{cases} \frac{\theta}{k_{\max}} & \text{si } N\theta/k_{\max} < 1 \\ \frac{k_{\max}}{N} \ln(eN\theta/k_{\max}) & \text{si } N\theta/k_{\max} > 1 \end{cases} \quad (\text{A.5})$$

Dans la limite $\rho\lambda \rightarrow 0$, le majorant dans (A.5) diverge seulement logarithmiquement, avec un préfacteur $k_{\max}/N < 1/2$ donc au moins deux fois moins rapidement que $N^{-1} \ln Z_{\text{at}}$.

Dans le cas des voisinages maximalement étendus de la phase atomique ($n_{\max} = N/2$) et du N -mère ($k_{\max} = N/2$), nous montrons, sur la figure A.2, les minorants et majorants des $N^{-1} \ln Z_{\text{vois.}}$, où $Z_{\text{vois.}}$ est la fonction de partition de chaque voisinage, déduits des encadrements (27), (28) et (A.5), en fonction de $\rho\lambda$ et pour $L/\ell = 150$. Au contraire de (28), le nouvel encadrement permet bien de conclure sans ambiguïté que la transition liquide-gaz se produit à une température critique proche de $T_c^{(0)}$, même si l'on inclut dans la discussion des valeurs arbitrairement faibles de $\rho\lambda$. Rappelons que la phase thermodynamiquement favorisée est, à température fixée, celle de fonction de partition maximale (donc d'énergie libre minimale).

Références

- [1] Z. Hadzibabic, P. Krüger, M. Cheneau, B. Battelier, J. Dalibard, Nature **441**, 1118 (2006).
- [2] C. Chin, R. Grimm, P. Julienne, E. Tiesinga, Rev. Mod. Phys. **82**, 1225 (2010).
- [3] L. Khaykovich, F. Schreck, G. Ferrari, T. Bourdel, J. Cubizolles, L.D. Carr, Y. Castin, C. Salomon, Science **296**, 1290 (2002).
- [4] K.E. Strecker, G.B. Partridge, A.G. Truscott, R.G. Hulet, Nature **417**, 150 (2002).
- [5] J.B. McGuire, J. Math. Phys. **5**, 622 (1964).
- [6] J. von Stecher, J. Phys. B **43**, 101002 (2010).
- [7] V. Efimov, Sov. J. Nucl. Phys. **12**, 589 (1971); V. Efimov, Nucl. Phys. A **210**, 157 (1973); A. Bulgac, V. Efimov, Sov. J. Nucl. Phys. **22**, 296 (1975).
- [8] S. Piatecki, W. Krauth, arXiv :1307.4671

- [9] B.S. Rem, A.T. Grier, I. Ferrier-Barbut, U. Eismann, T. Langen, N. Navon, L. Khaykovich, F. Werner, D.S. Petrov, F. Chevy, C. Salomon, Phys. Rev. Lett. **110**, 163202 (2013).
- [10] P. Makotyn, C.E. Klauss, D.L. Goldberger, E.A. Cornell, D.S. Jin, Nature Physics **10**, 116 (2014).
- [11] M. Gaudin, *La fonction d'onde de Bethe* (Masson, Paris, 1983).
- [12] E.H. Lieb, W. Liniger, Phys. Rev. **130**, 1605 (1963).
- [13] Y. Castin, C. Herzog, C. R. Acad. Sci. Paris, t. 2, série IV, p. 419 (2001).
- [14] P. Calabrese, J.-S. Caux, Phys. Rev. Lett. **98**, 150403 (2007) ; P. Calabrese, J.-S. Caux, J. Stat. Mech. P08032 (2007).
- [15] A.L. Gaunt, T.F. Schmidutz, I. Gotlibovych, R.P. Smith, Z. Hadzibabic, Phys. Rev. Lett. **110**, 200406 (2013).
- [16] V. Dunjko, C.P. Herzog, Y. Castin, M. Olshanii, arXiv :cond-mat/0306514
- [17] B. Diu, C. Guthman, D. Lederer, B. Roulet, *Physique Statistique* (Hermann, Paris, 1989).
- [18] D.J. Kaup, Phys. Rev. A **42**, 5689 (1990).
- [19] S. Sinha, A. Yu. Cherny, D. Kovrizhin, J. Brand, Phys. Rev. Lett. **96**, 030406 (2006).
- [20] Y. Castin, Eur. Phys. J. B **68**, 317 (2009).
- [21] G.H. Hardy, S. Ramanujan, C. R. Acad. Sci. Paris, **164** (1), 35 (1917) ; G.H. Hardy, S. Ramanujan, Proc. Lond. Math. Soc. **17**, 75 (1918).
- [22] V. Dunjko, V. Lorent, M. Olshanii, Phys. Rev. Lett. **86**, 5413 (2001).
- [23] L. Landau, E. Lifchitz, *Physique statistique* (éditions Mir, Moscou, 1984)
- [24] Y. Castin, F. Werner, Rev. Can. Phys. **91**, 382 (2013).
- [25] A. Comtet, Y. Georgelin, S. Ouvry, J. Phys. A **22**, 3917 (1989) ; J. McCabe, S. Ouvry, Phys. Lett. B **260**, 113 (1990).
- [26] Xia-Ji Liu, Hui Hu, P. D. Drummond, Phys. Rev. Lett. **102**, 160401 (2009) ; Phys. Rev. A **82**, 023619 (2010).
- [27] T. Busch, B.G. Englert, K. Rzazewski, M. Wilkens, Found. Phys. **28**, 549 (1998).
- [28] S. Servadio, J. Math. Phys. **12**, 2413 (1971) ; L.R. Dodd, A.M. Gibbs, J. Math. Phys. **15**, 41 (1974).
- [29] M. Olshanii, V. Dunjko, Phys. Rev. Lett. **91**, 090401 (2003).